

# Réseaux de neurones convolutionnels (CNN)

Julie Delon

M2 MM, Apprentissage en Grande Dimension  
Université Paris Descartes

Diapositives basées sur les cours de cs231n (Stanford) - Fei-Fei Li & Justin Johnson & Serena Yeung, et sur le cours de Mauricio Delbracio, José Lezama, Guillermo Carbajal, Instituto de Ingeniería Eléctrica Facultad de Ingeniería Universidad de la República

# Invariance en vision

- Problèmes de vision par ordinateur nécessitent des solutions invariantes à certaines transformations (point de vue, illumination)
- Deux approches possibles :
  - apprendre les invariances à partir d'une énorme base de données (let the data talk)
  - construire des représentations invariantes des données



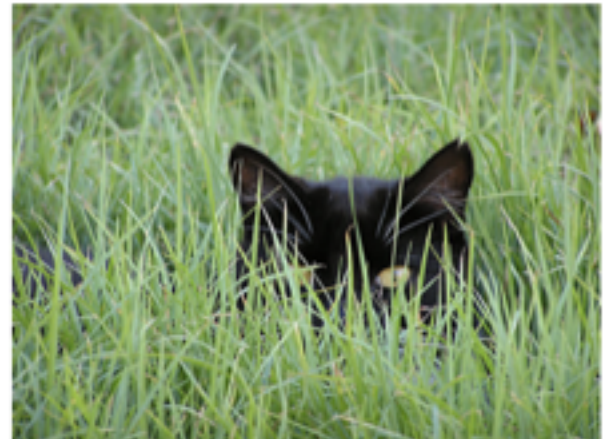
Francesco Peri, Hidden Cat - Penny



Christina Gandolfo, Cat in the box



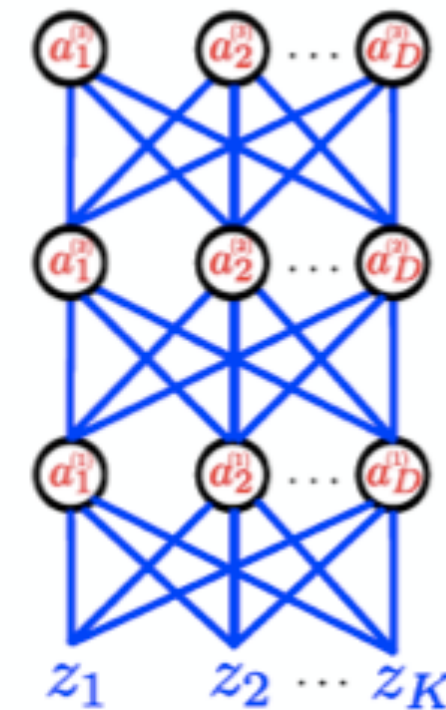
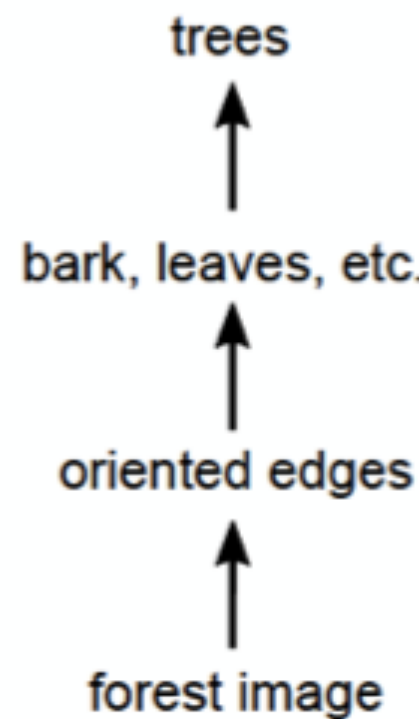
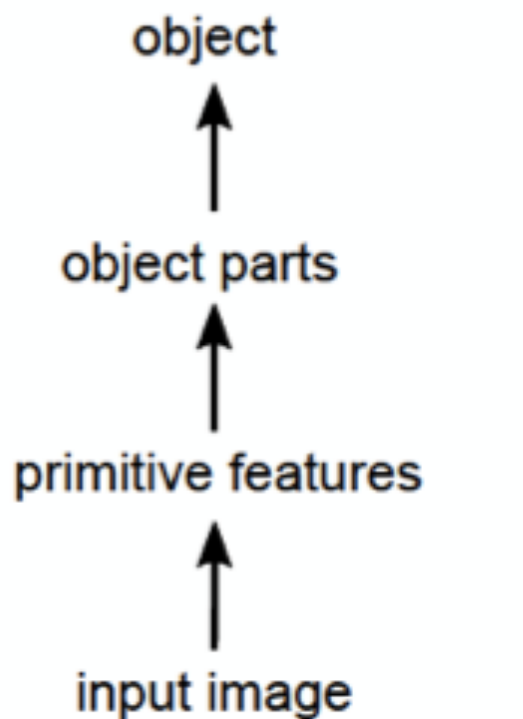
Matteo, hiding



Grahford, Hidden Cat

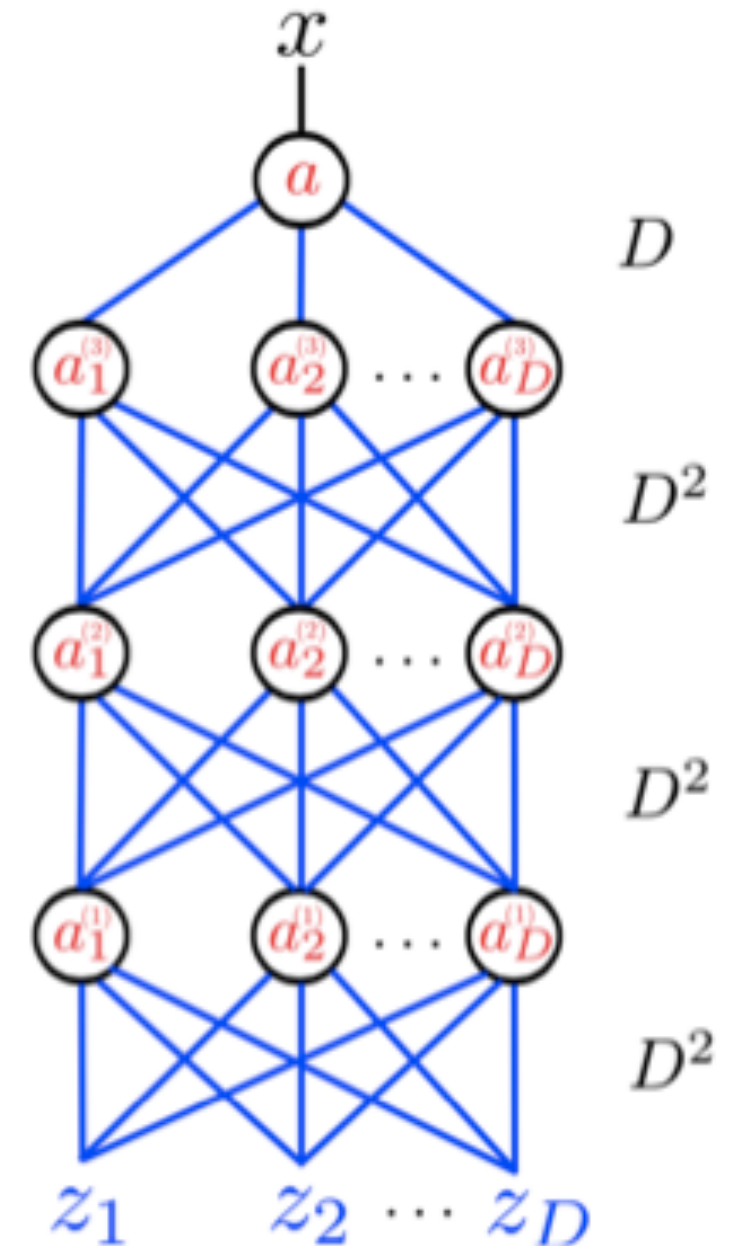
# Pourquoi des réseaux profonds ?

- Les données visuelles ont généralement une organisation hiérarchique

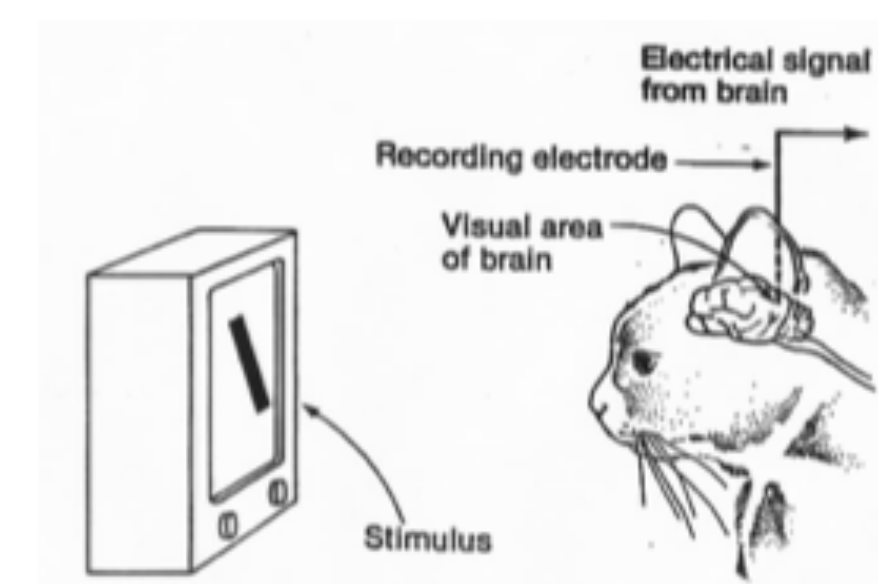
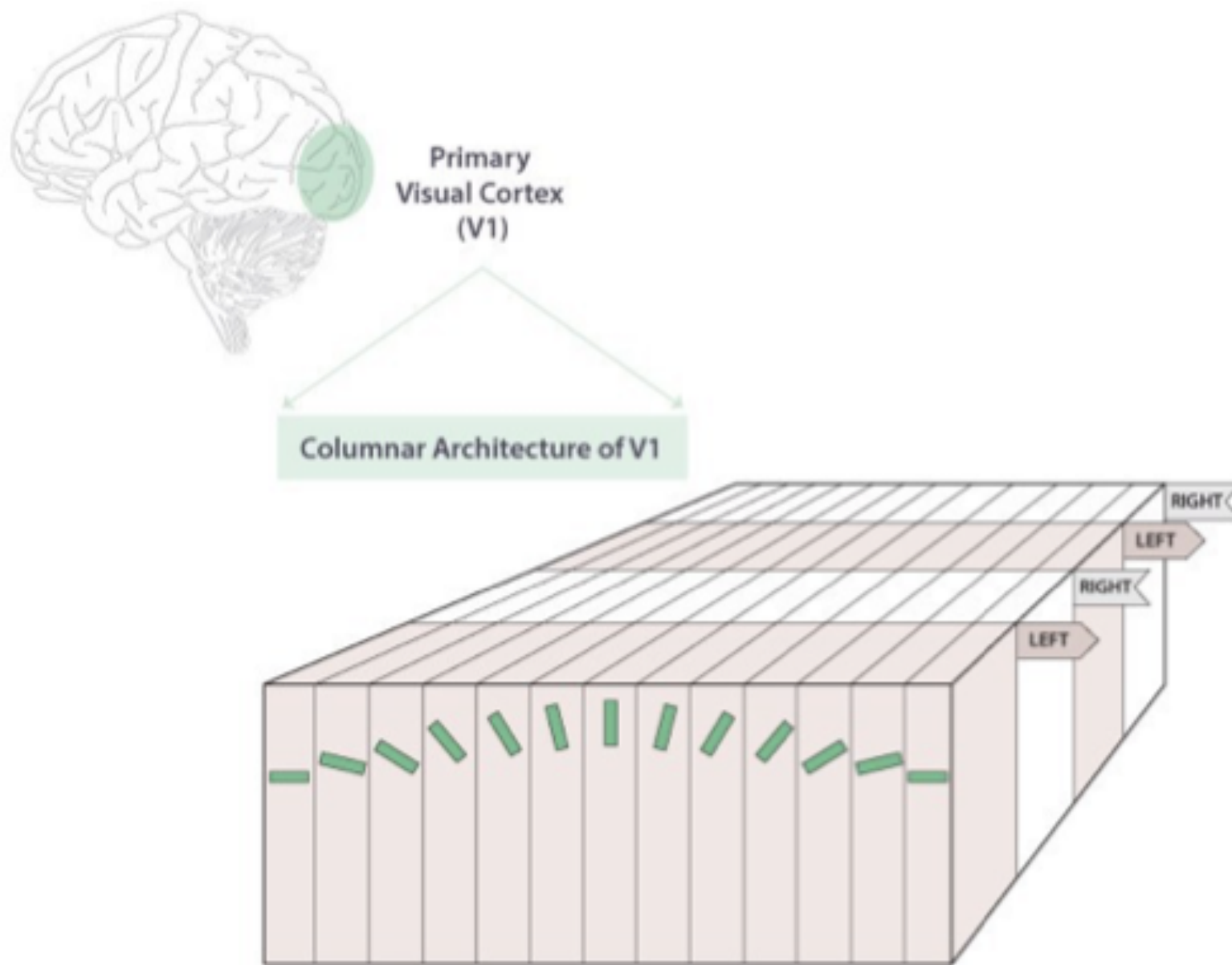


# Pourquoi des réseaux profonds ?

- Combien de paramètres contient ce réseau ?
  - $3D^2 + D$
- Pour une petite image 32x32
  - $3 \times (32^2)^2 + 32^2 \approx 3 \times 10^6$
- Difficile à entraîner : surajustement, initialisation
- Réseaux convolutionnels : permettent de diminuer le nombre de paramètres tout en forçant les invariances



# Bases neurologiques de la perception visuelle



© Knowing Neurons <http://knowingneurons.com>

Hubel, David H., and Torsten N. Wiesel. *The Journal of physiology*, 1962  
"Receptive fields, binocular interaction and functional architecture in the cat's visual cortex."

# Convolutions

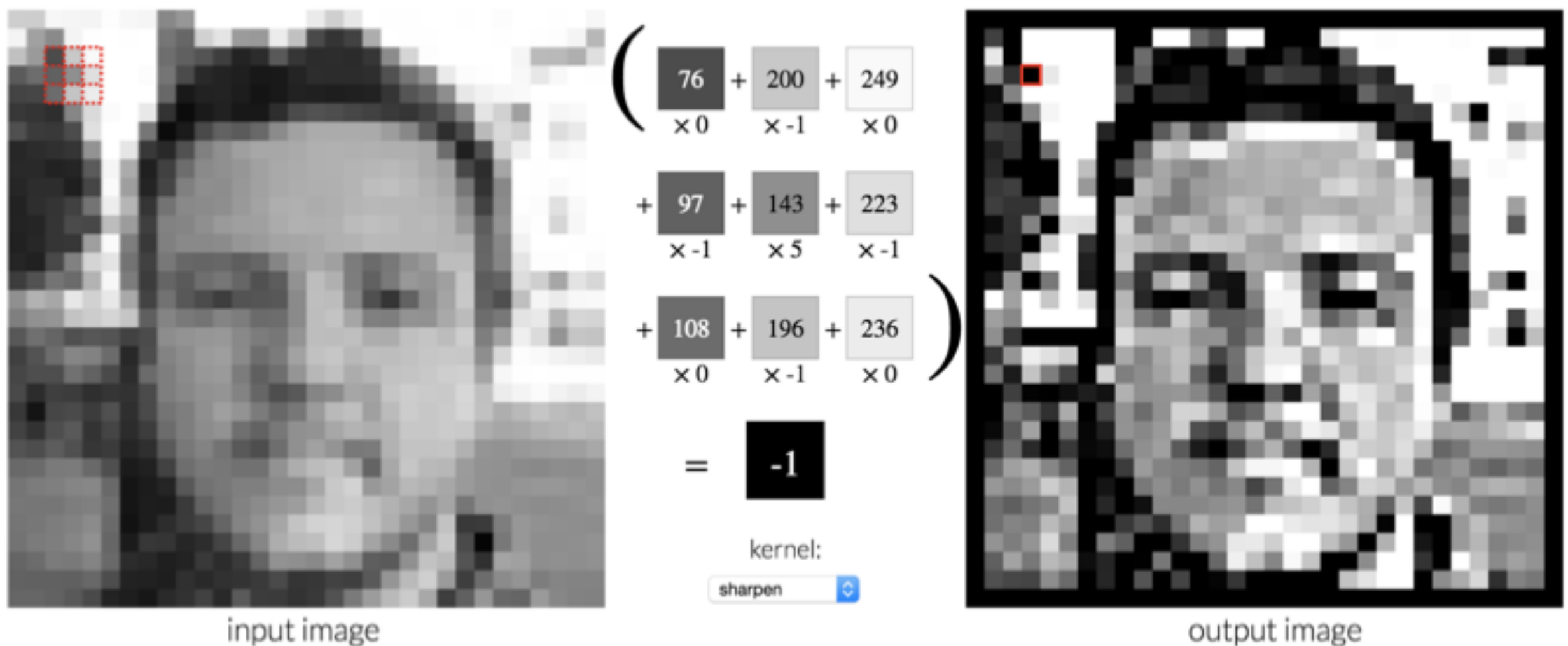
- Convolution d'image : opération linéaire entre une image et un filtre, produisant une nouvelle image
- Chaque pixel se calcule comme une somme pondérée des pixels de l'image d'entrée, translatée par rapport au noyau de convolution

$$(u * h)(i, j) = \sum_{k, l} u(i - k, j - l)h(k, l)$$

$$\underbrace{\begin{bmatrix} 130 & 136 & 53 & 44 & 231 & 67 & 108 \\ 130 & 89 & 77 & 58 & 250 & 154 & 130 \\ 208 & 239 & 120 & 111 & 112 & 181 & 22 \\ 203 & 223 & 59 & 79 & 28 & 57 & 67 \\ 164 & 140 & 215 & 235 & 66 & 30 & 204 \\ 97 & 159 & 50 & 110 & 104 & 76 & 7 \\ 207 & 150 & 58 & 47 & 152 & 81 & 237 \end{bmatrix}}_u * \underbrace{\frac{1}{5} \begin{bmatrix} 0 & 1 & 0 \\ 1 & 1 & 1 \\ 0 & 1 & 0 \end{bmatrix}}_h = \underbrace{\begin{bmatrix} 79.2 & 81.6 & 62.0 & 77.2 & 118.4 & 112.0 & 61.0 \\ 111.4 & 134.2 & 79.4 & 108.0 & 161.0 & 156.4 & 82.8 \\ 156.0 & 175.8 & 121.2 & 96.0 & 136.4 & 105.2 & 80.0 \\ 159.6 & 172.8 & 139.2 & 102.4 & 68.4 & 72.6 & 70.0 \\ 120.8 & 180.2 & 139.8 & 141.0 & 92.6 & 86.6 & 61.6 \\ 125.4 & 119.2 & 118.4 & 109.2 & 101.6 & 59.6 & 104.8 \\ 90.8 & 114.8 & 61.0 & 73.4 & 76.8 & 109.2 & 65.0 \end{bmatrix}}_{u * h}$$

# Convolutions d'images

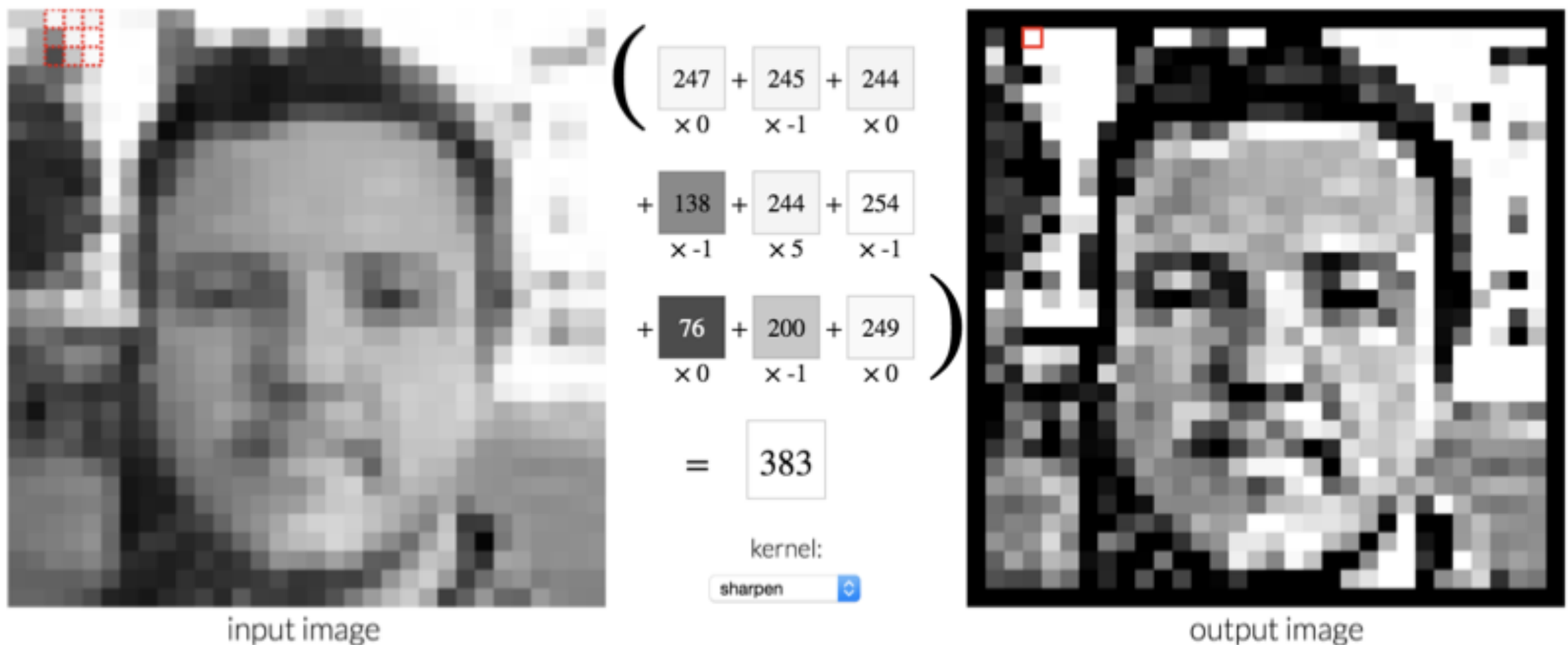
- Noyaux de convolution, expliqués visuellement par Victor Powell  
[setosa.io/ev/image-kernels](https://setosa.io/ev/image-kernels)



$$\text{Kernel} - h = \begin{bmatrix} 0 & -1 & 0 \\ -1 & 5 & -1 \\ 0 & -1 & 0 \end{bmatrix}$$

# Convolutions d'images

- Noyaux de convolution, expliqués visuellement par Victor Powell  
[setosa.io/ev/image-kernels](https://setosa.io/ev/image-kernels)



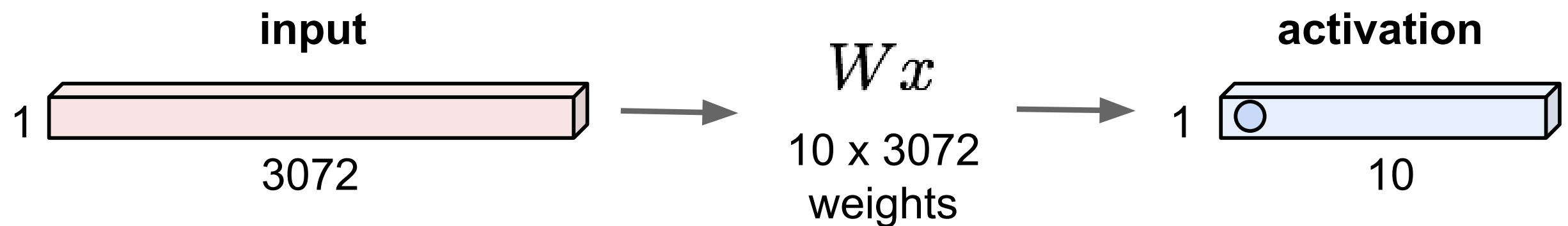
$$\text{Kernel } h = \begin{bmatrix} 0 & -1 & 0 \\ -1 & 5 & -1 \\ 0 & -1 & 0 \end{bmatrix}$$

# Pourquoi des réseaux convolutionnels ?

1. Statistiques des images naturelles sont **invariantes à la translation**
  - On veut imposer l'invariance dans le modèle plutôt que l'apprendre
  - On veut minimiser le nombre de paramètres du réseau
2. Les caractéristiques de bas niveau sont locales (bords, blobs) -> utilisation de **filtres de petite taille**
3. Les caractéristiques de haut niveau sont globales -> besoin d'un **réseau profond**

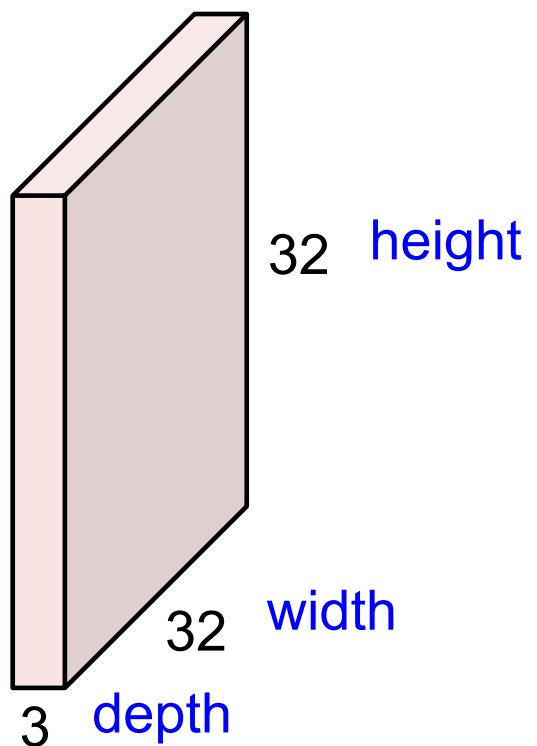
# Réseau complètement connecté

32x32x3 image -> stretch to 3072 x 1



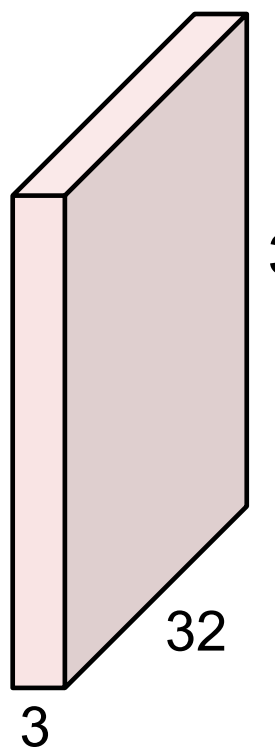
# Réseau convolutionnel

32x32x3 image -> preserve spatial structure



# Réseau convolutionnel

32x32x3 image

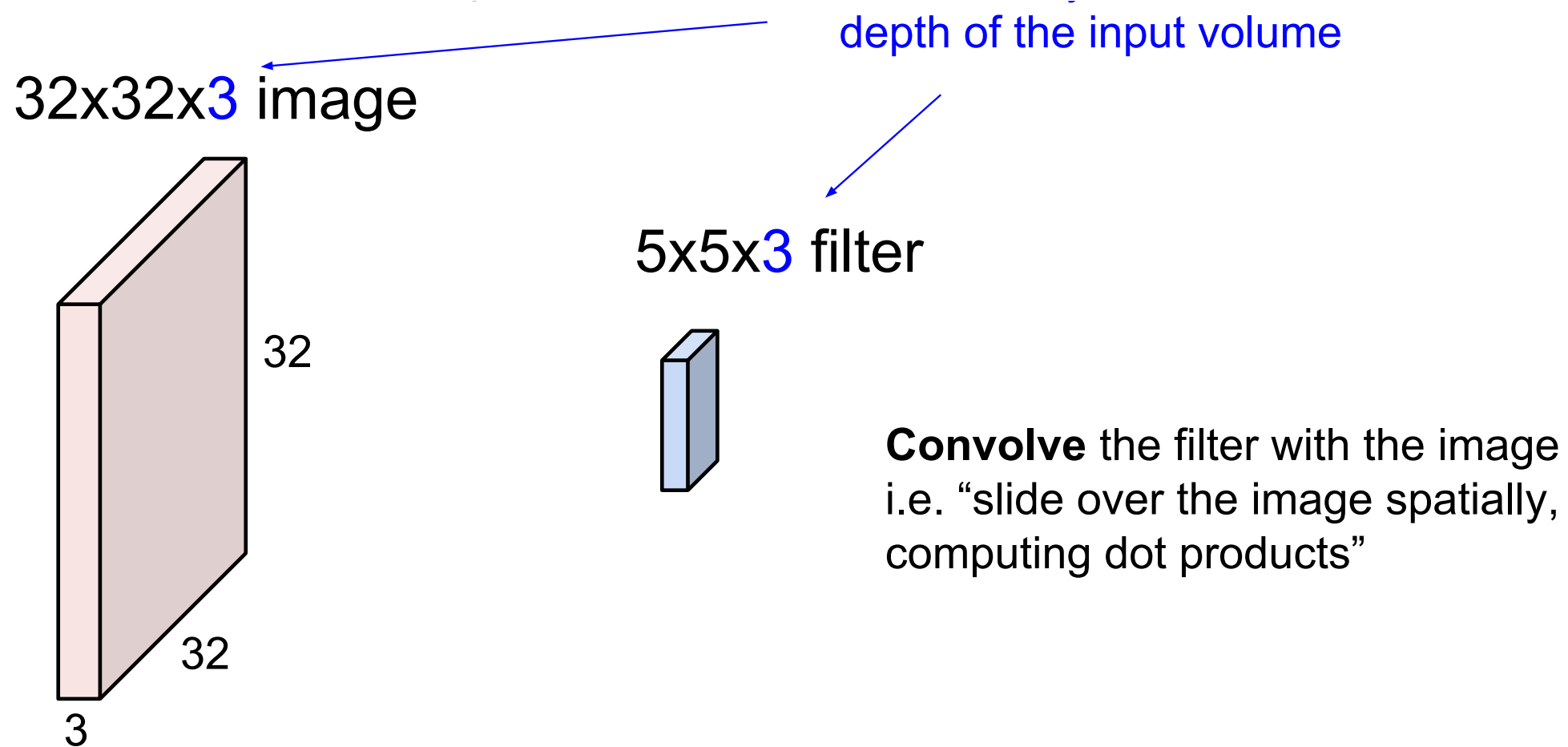


5x5x3 filter

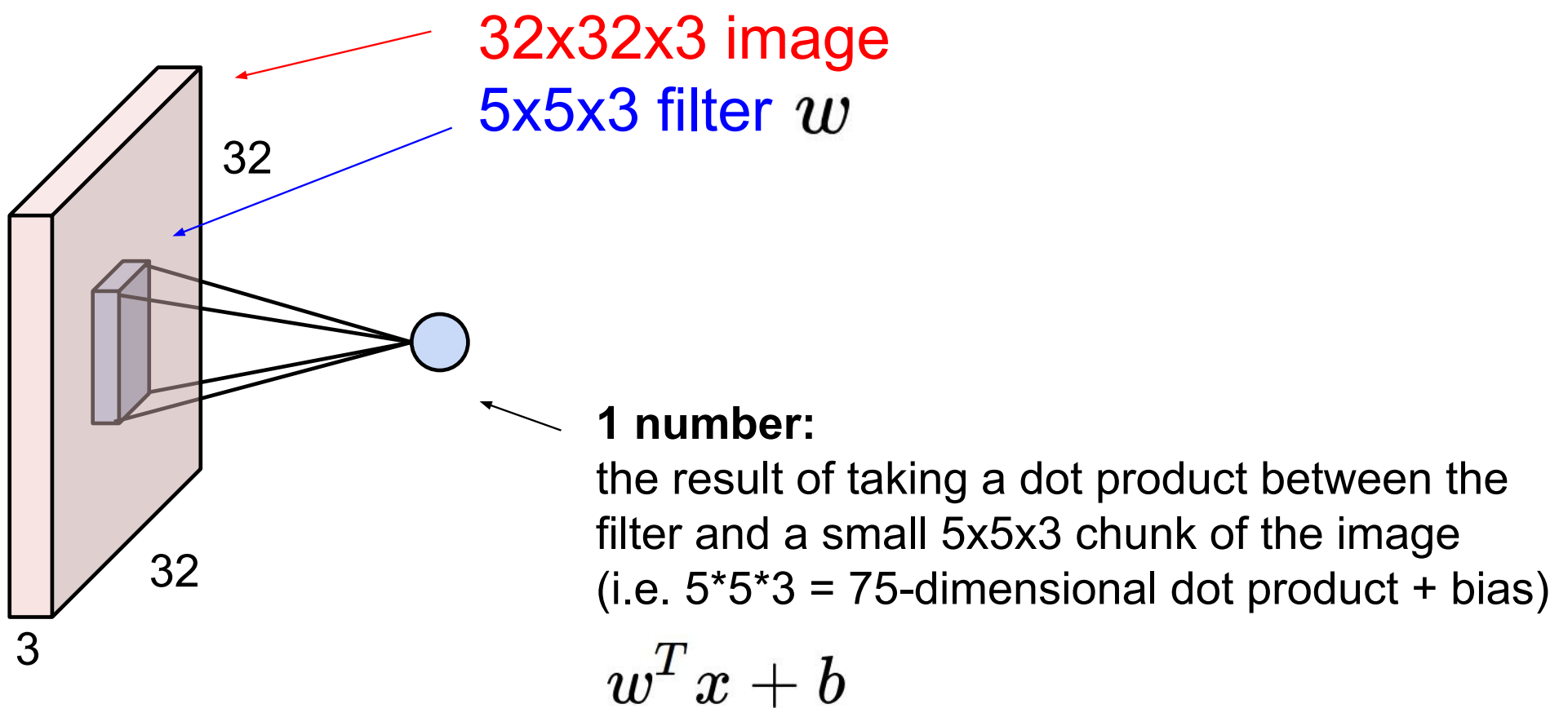


**Convolve** the filter with the image  
i.e. “slide over the image spatially,  
computing dot products”

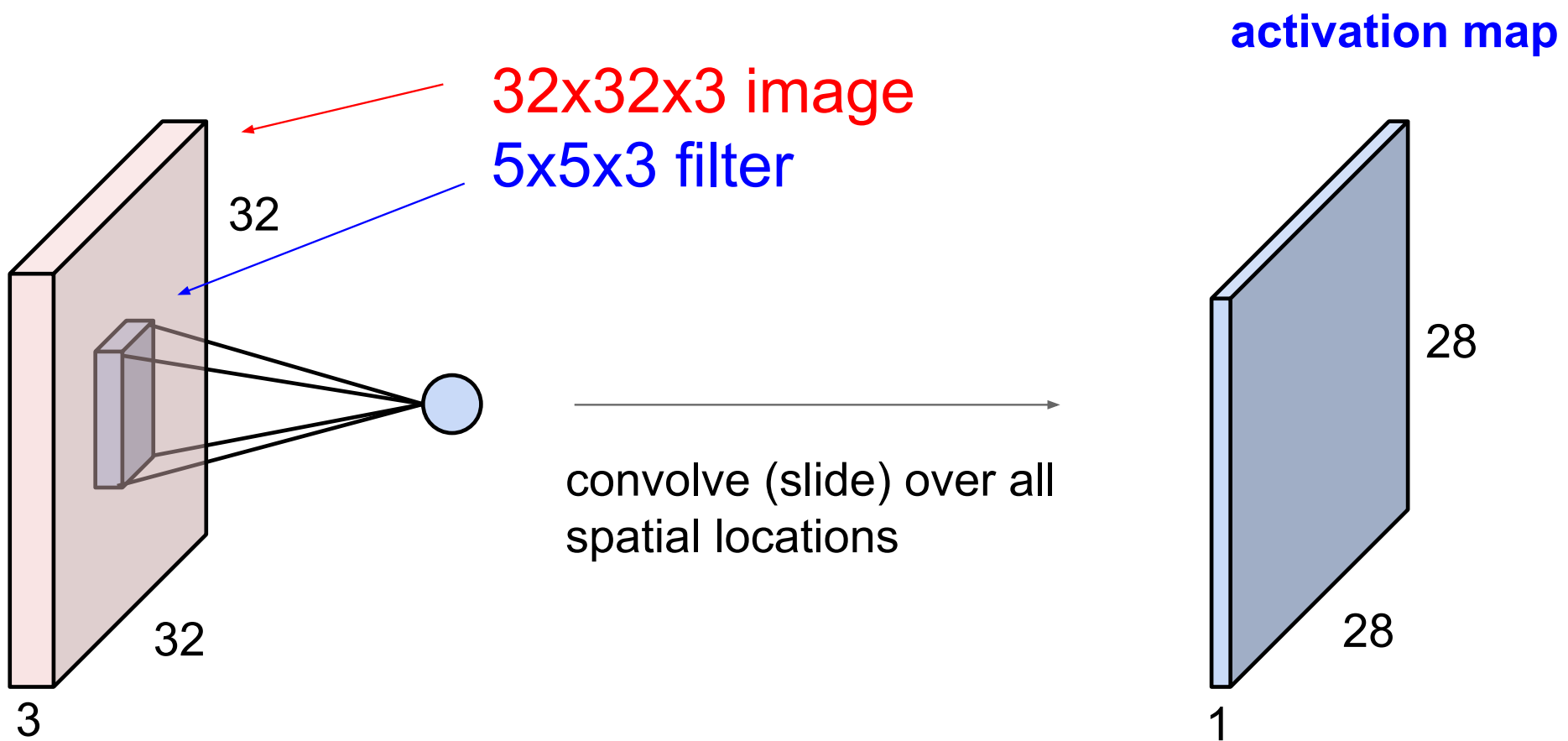
# Réseau convolutionnel



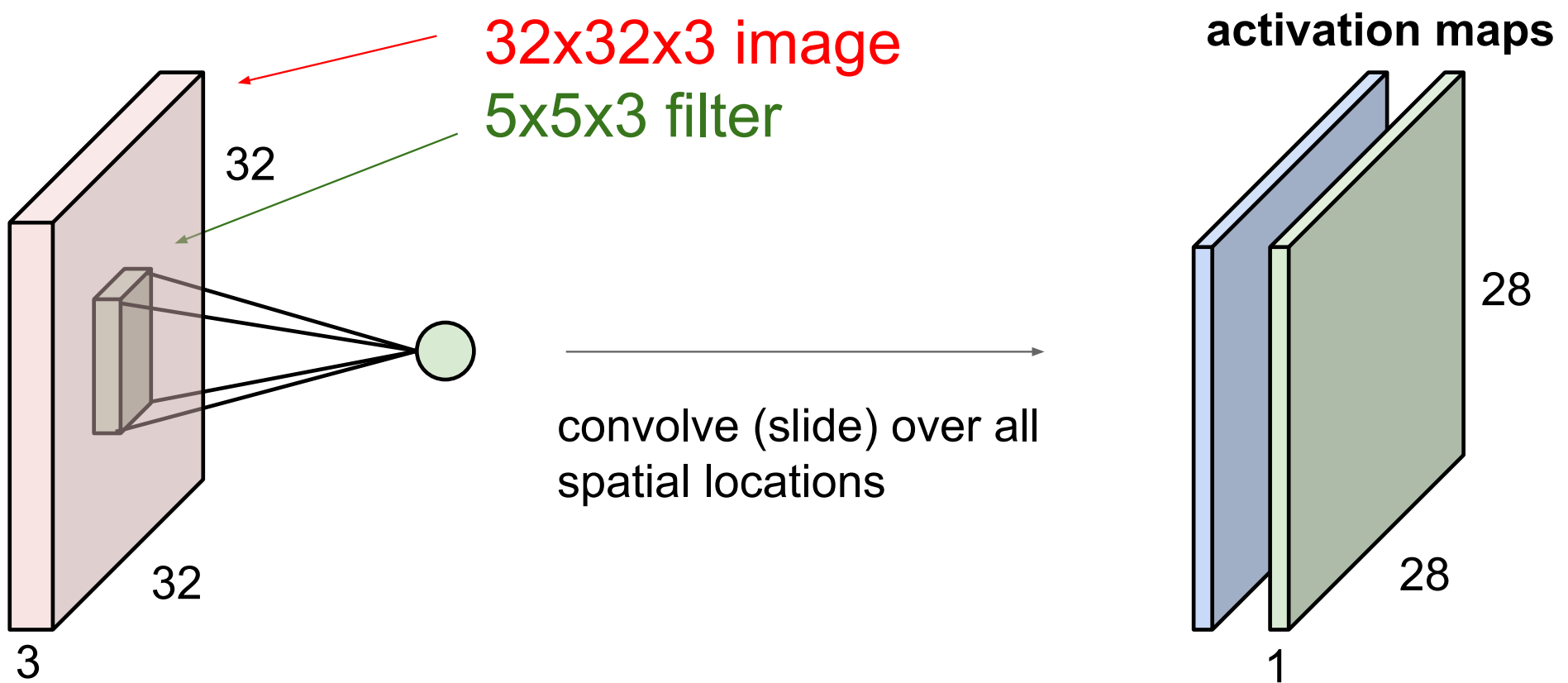
# Réseau convolutionnel



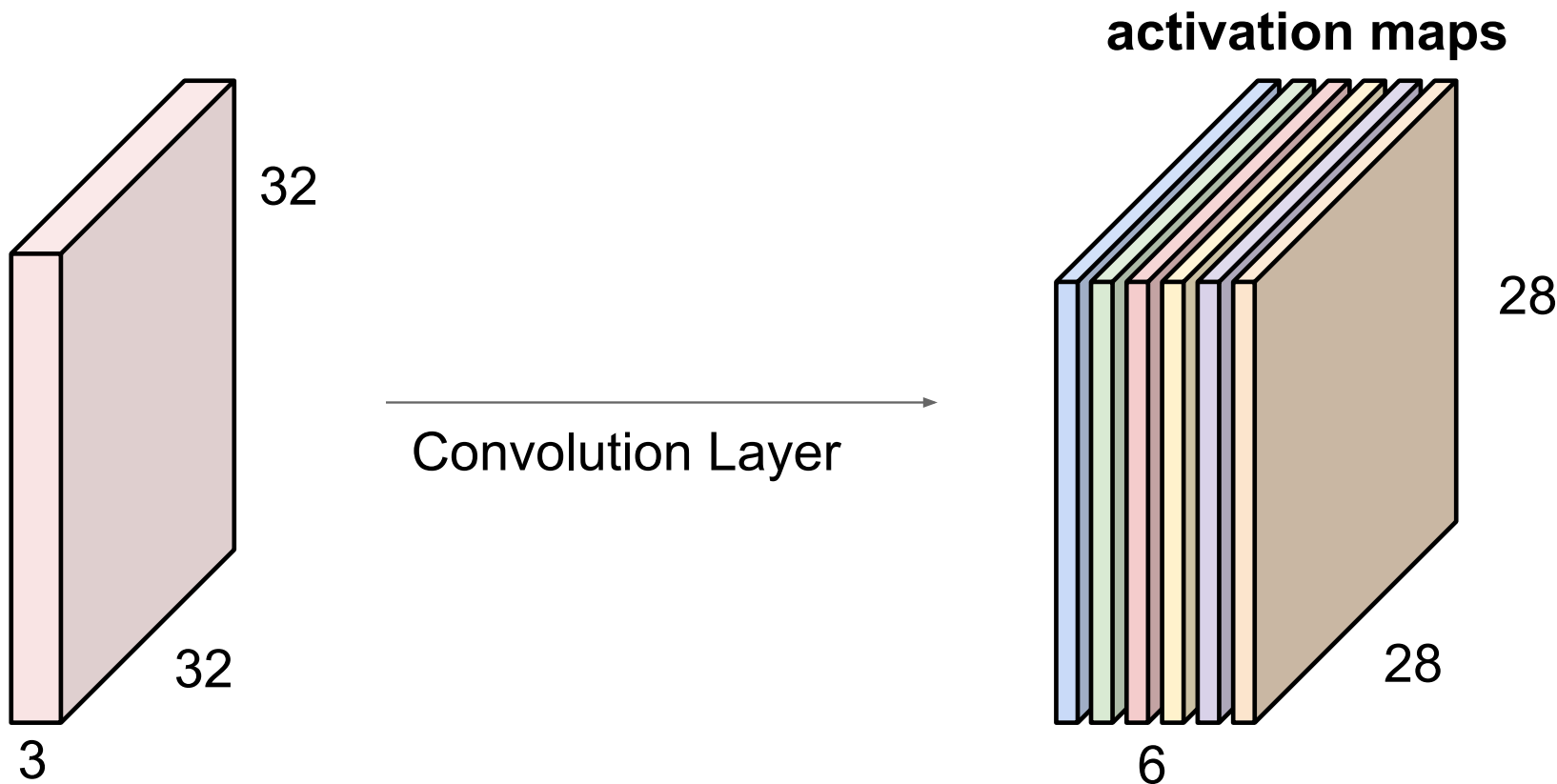
# Réseau convolutionnel



# Réseau convolutionnel



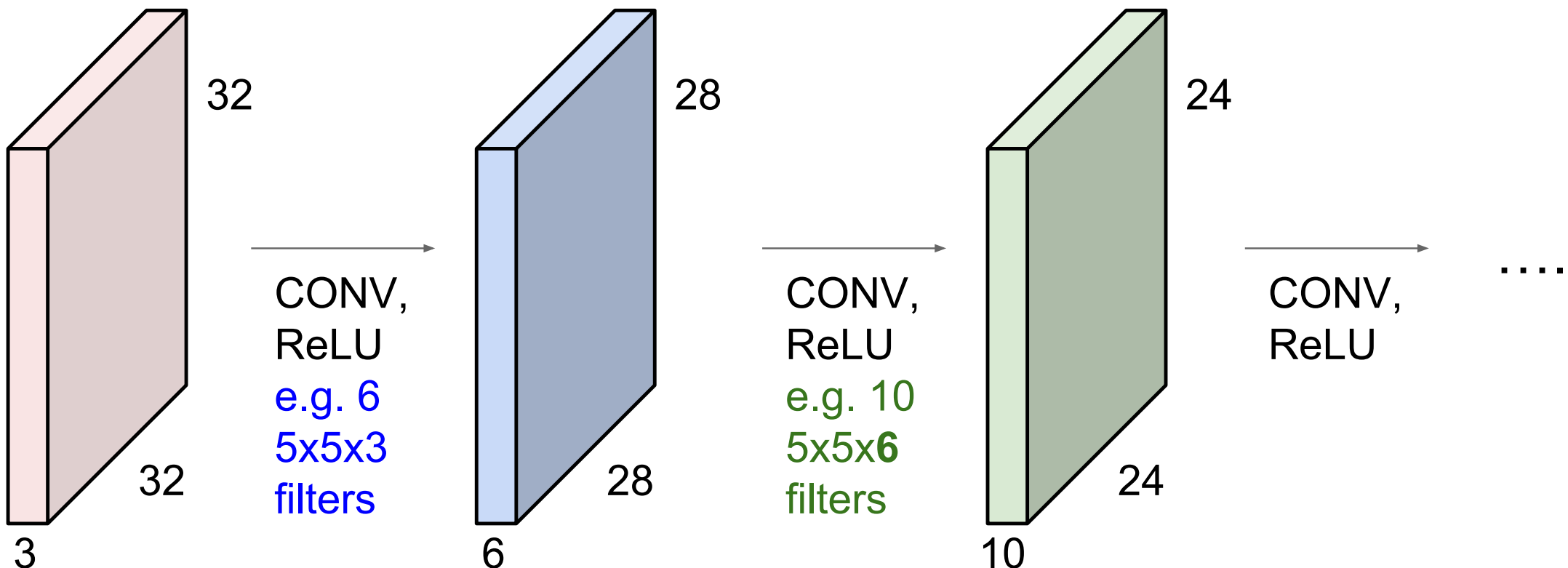
# Réseau convolutionnel



We stack these up to get a “new image” of size 28x28x6!

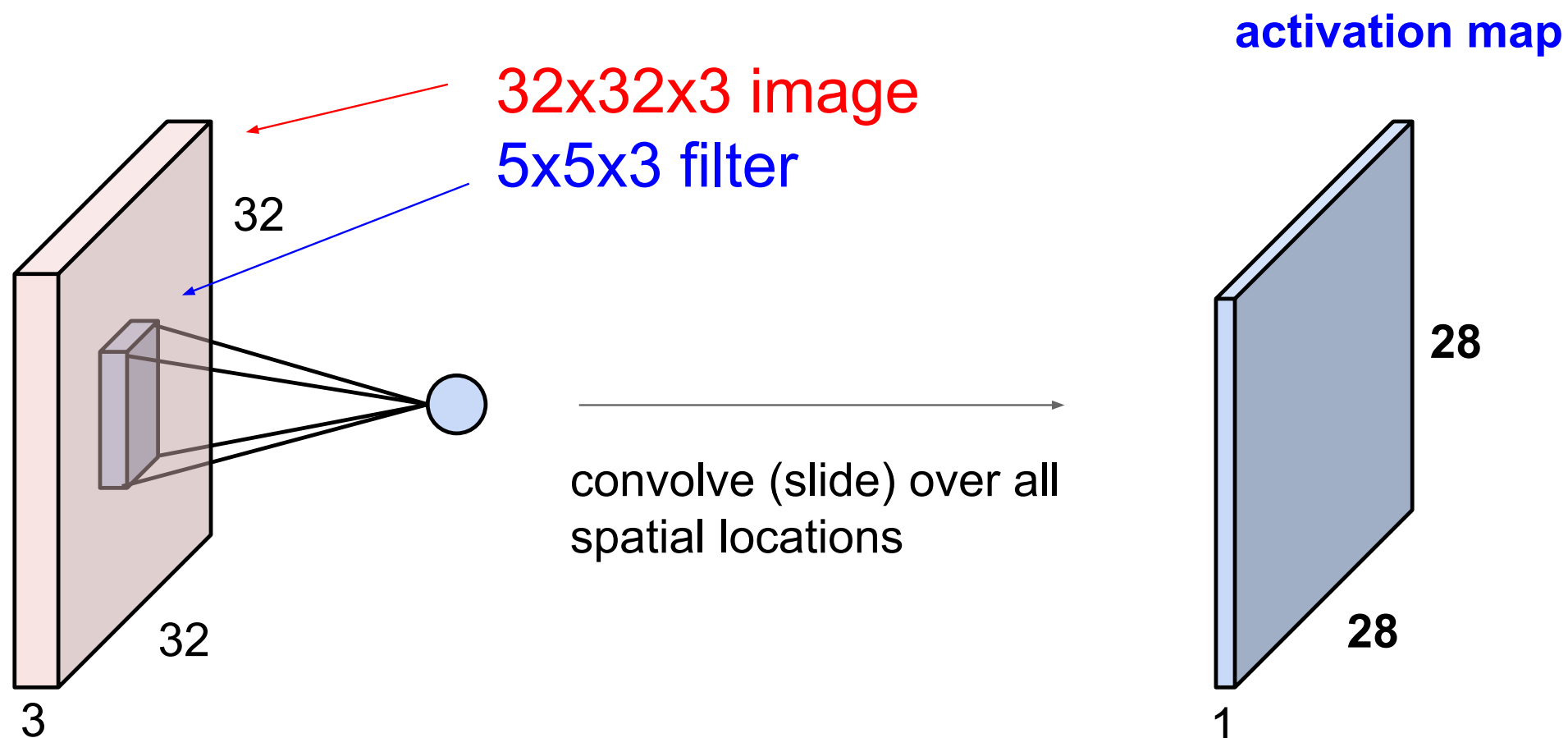
# Réseau convolutionnel

- Les réseaux convolutionnels sont constitués de séquences de couches de convolution, intercalées avec des fonctions d'activation



# Dimensions spatiales

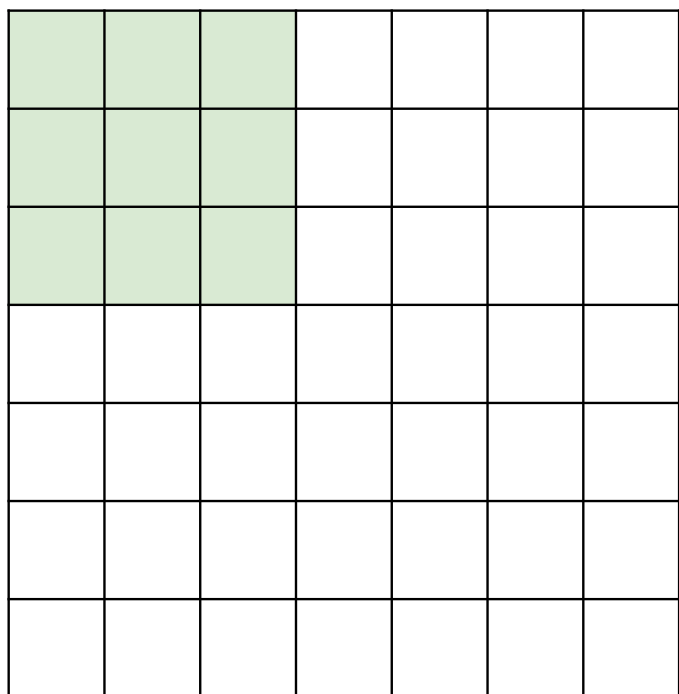
A closer look at spatial dimensions:



# Dimensions spatiales

A closer look at spatial dimensions:

7

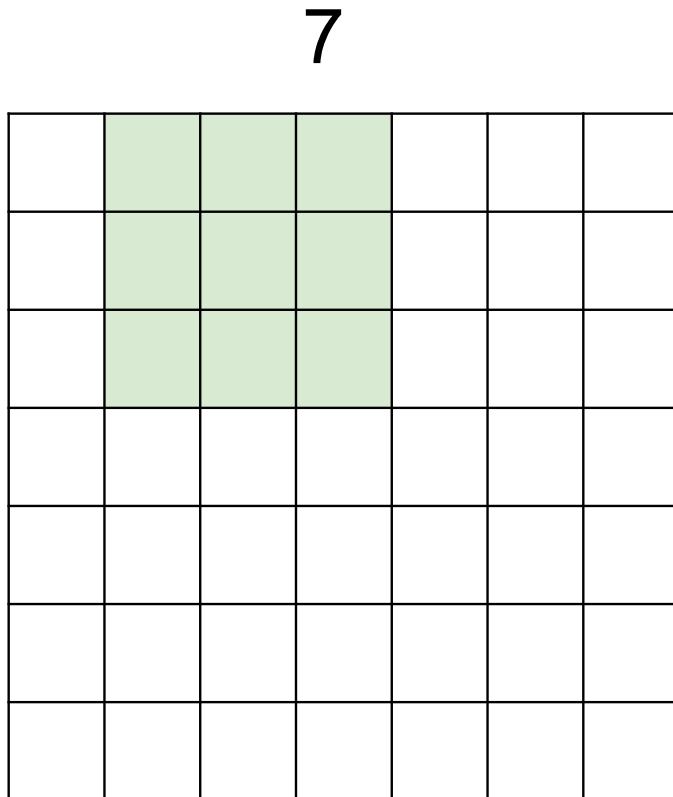


7x7 input (spatially)  
assume 3x3 filter

7

# Dimensions spatiales

A closer look at spatial dimensions:



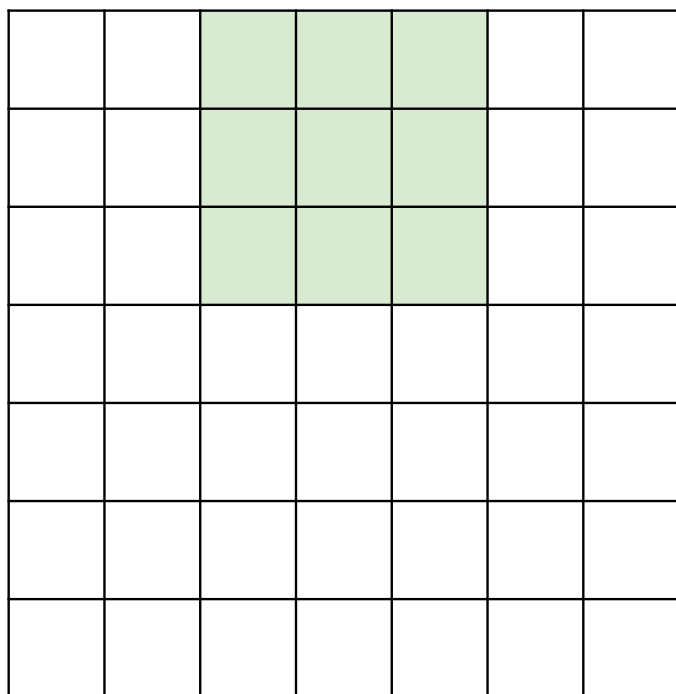
7x7 input (spatially)  
assume 3x3 filter

7

# Dimensions spatiales

A closer look at spatial dimensions:

7



7

7x7 input (spatially)  
assume 3x3 filter

# Dimensions spatiales

A closer look at spatial dimensions:

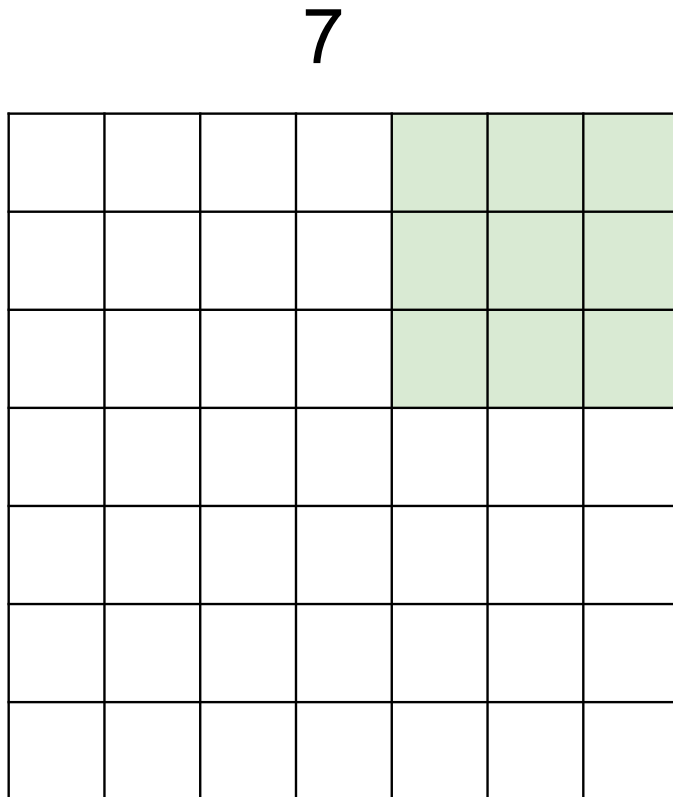
7


7x7 input (spatially)  
assume 3x3 filter

7

# Dimensions spatiales

A closer look at spatial dimensions:

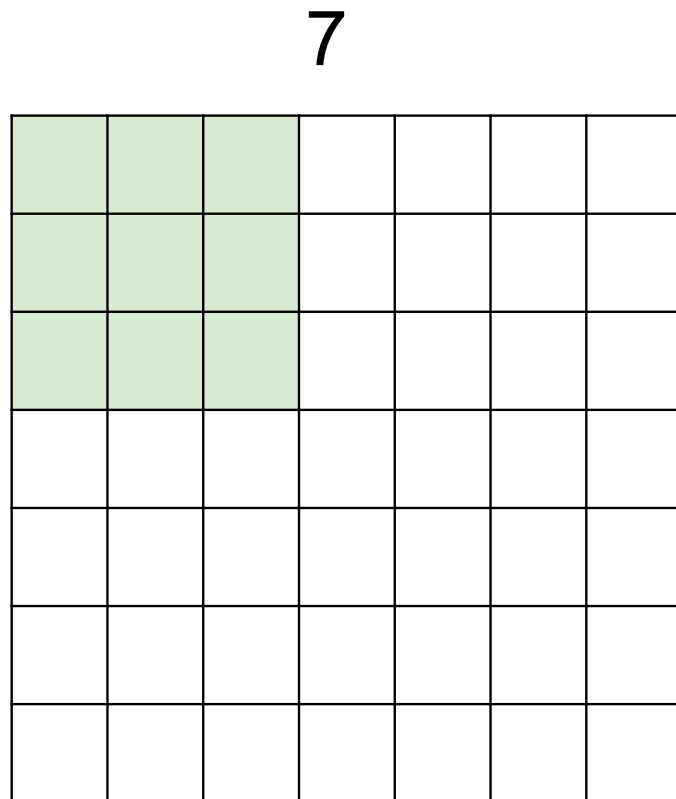


7x7 input (spatially)  
assume 3x3 filter

**=> 5x5 output**

# Dimensions spatiales

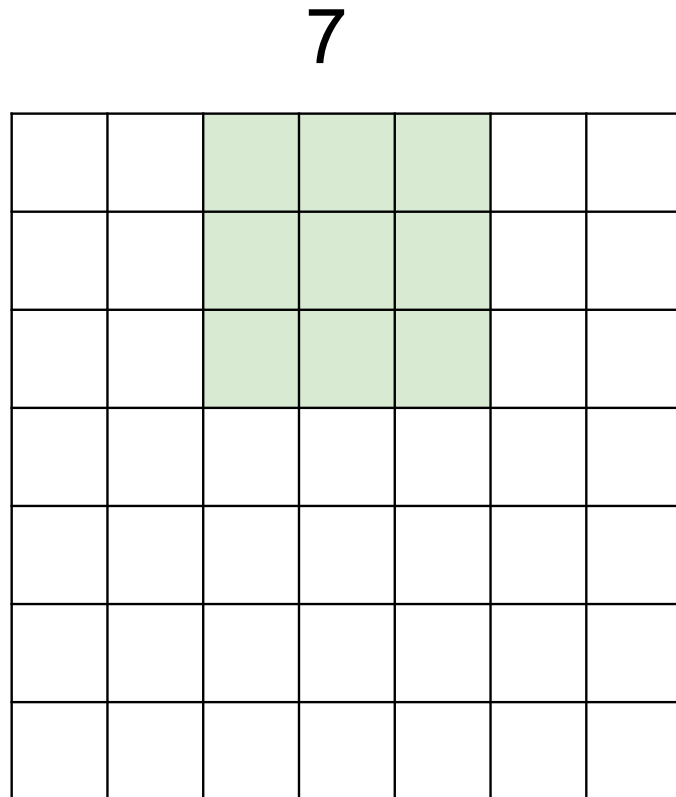
A closer look at spatial dimensions:



7x7 input (spatially)  
assume 3x3 filter  
applied **with stride 2**

# Dimensions spatiales

A closer look at spatial dimensions:

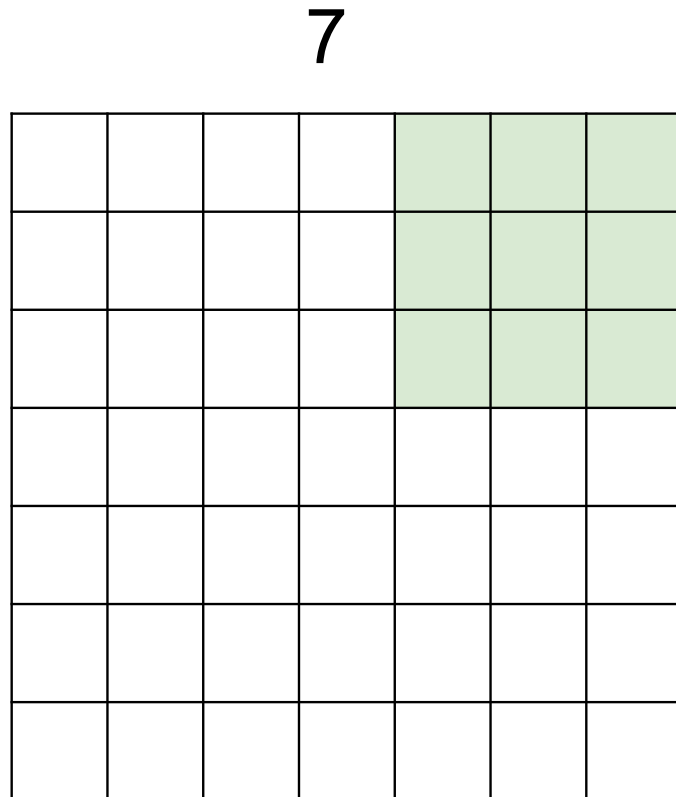


7

7x7 input (spatially)  
assume 3x3 filter  
applied **with stride 2**

# Dimensions spatiales

A closer look at spatial dimensions:

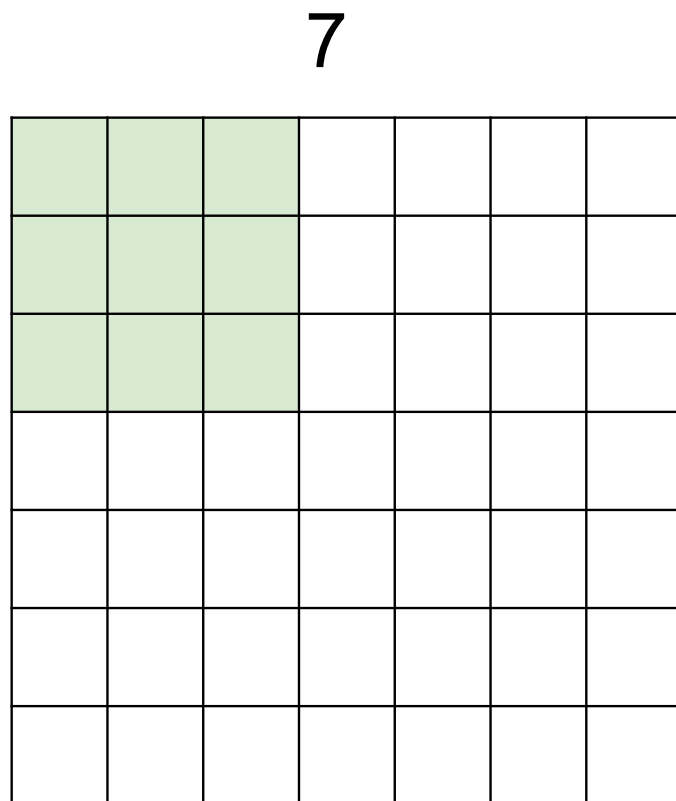


7

7x7 input (spatially)  
assume 3x3 filter  
applied **with stride 2**  
**=> 3x3 output!**

# Dimensions spatiales

A closer look at spatial dimensions:

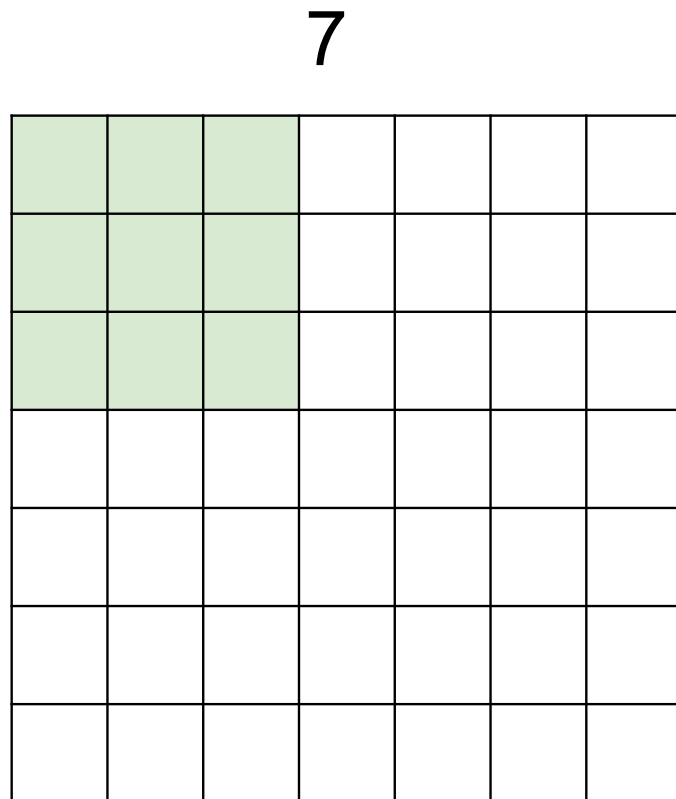


7

7x7 input (spatially)  
assume 3x3 filter  
applied **with stride 3?**

# Dimensions spatiales

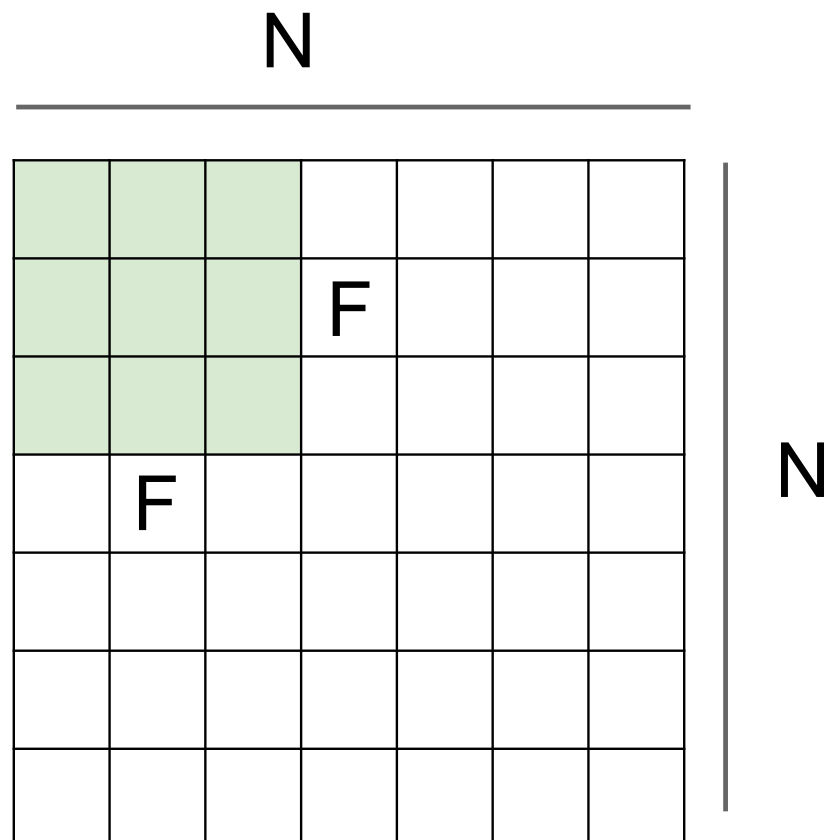
A closer look at spatial dimensions:



7x7 input (spatially)  
assume 3x3 filter  
applied **with stride 3?**

**doesn't fit!**  
cannot apply 3x3 filter on  
7x7 input with stride 3.

# Dimensions spatiales



Output size:  
**(N - F) / stride + 1**

e.g.  $N = 7, F = 3$ :  
stride 1 =>  $(7 - 3)/1 + 1 = 5$   
stride 2 =>  $(7 - 3)/2 + 1 = 3$   
stride 3 =>  $(7 - 3)/3 + 1 = 2.33 :\backslash$

# Dimensions spatiales

In practice: Common to zero pad the border

0	0	0	0	0	0			
0								
0								
0								
0								

e.g. input 7x7

3x3 filter, applied with **stride 1**

**pad with 1 pixel border => what is the output?**

(recall:)

$$(N - F) / \text{stride} + 1$$

# Dimensions spatiales

In practice: Common to zero pad the border

0	0	0	0	0	0			
0								
0								
0								
0								

e.g. input 7x7

3x3 filter, applied with **stride 1**

**pad with 1 pixel border => what is the output?**

**7x7 output!**

# Dimensions spatiales

In practice: Common to zero pad the border

0	0	0	0	0	0			
0								
0								
0								
0								

e.g. input 7x7

3x3 filter, applied with **stride 1**

**pad with 1 pixel border => what is the output?**

**7x7 output!**

in general, common to see CONV layers with stride 1, filters of size FxF, and zero-padding with  $(F-1)/2$ . (will preserve size spatially)

e.g.  $F = 3 \Rightarrow$  zero pad with 1

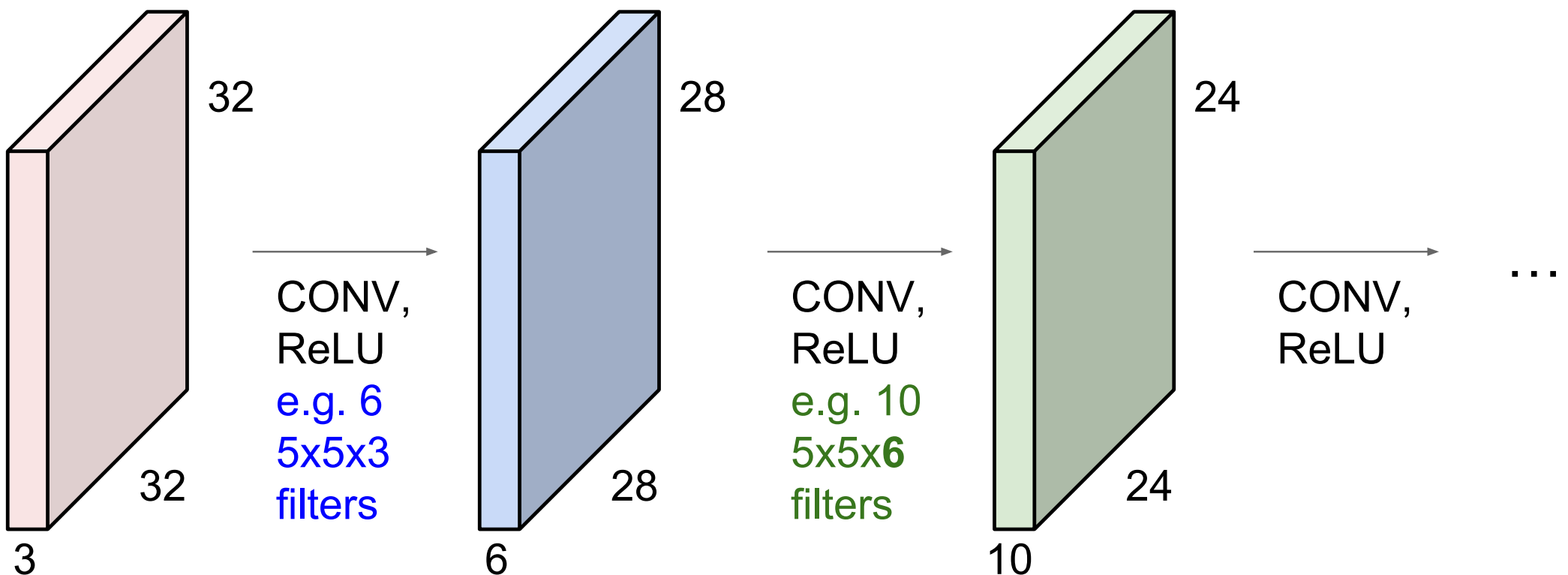
$F = 5 \Rightarrow$  zero pad with 2

$F = 7 \Rightarrow$  zero pad with 3

# Dimensions spatiales

**Remember back to...**

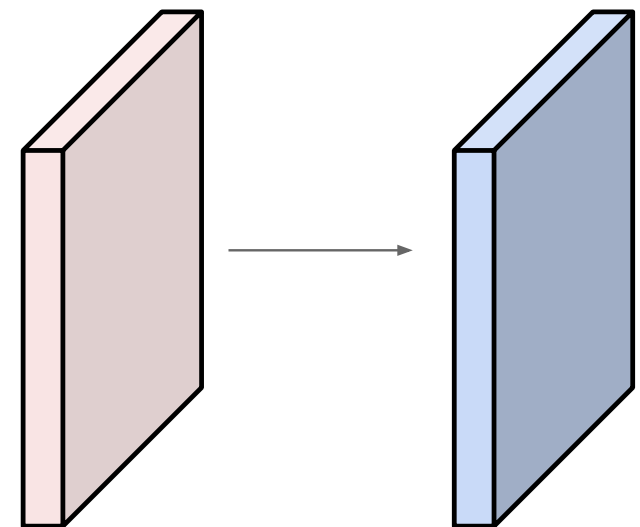
E.g. 32x32 input convolved repeatedly with 5x5 filters shrinks volumes spatially!  
(32 -> 28 -> 24 ...). Shrinking too fast is not good, doesn't work well.



# Dimensions spatiales

Examples time:

Input volume: **32x32x3**  
10 5x5 filters with stride 1, pad 2

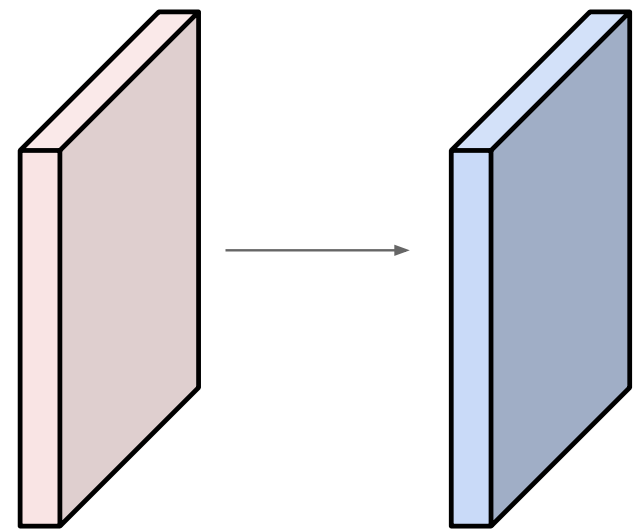


Output volume size: ?

# Dimensions spatiales

Examples time:

Input volume: **32x32x3**  
**10 5x5** filters with stride **1**, pad **2**

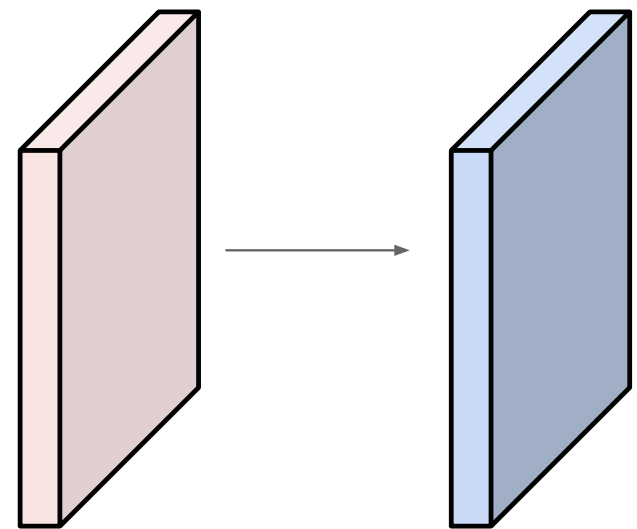


Output volume size:  
 $(32+2*2-5)/1+1 = 32$  spatially, so  
**32x32x10**

# Dimensions spatiales

Examples time:

Input volume: **32x32x3**  
10 5x5 filters with stride 1, pad 2

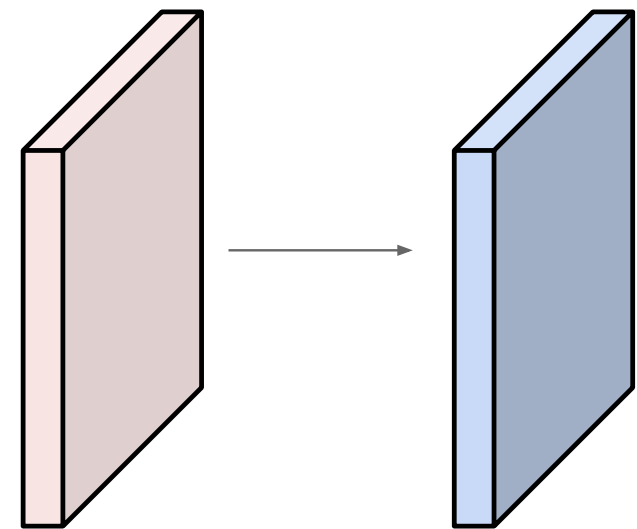


Number of parameters in this layer?

# Dimensions spatiales

Examples time:

Input volume: **32x32x3**  
**10 5x5** filters with stride 1, pad 2



Number of parameters in this layer?

each filter has  $5^*5^*3 + 1 = 76$  params (+1 for bias)

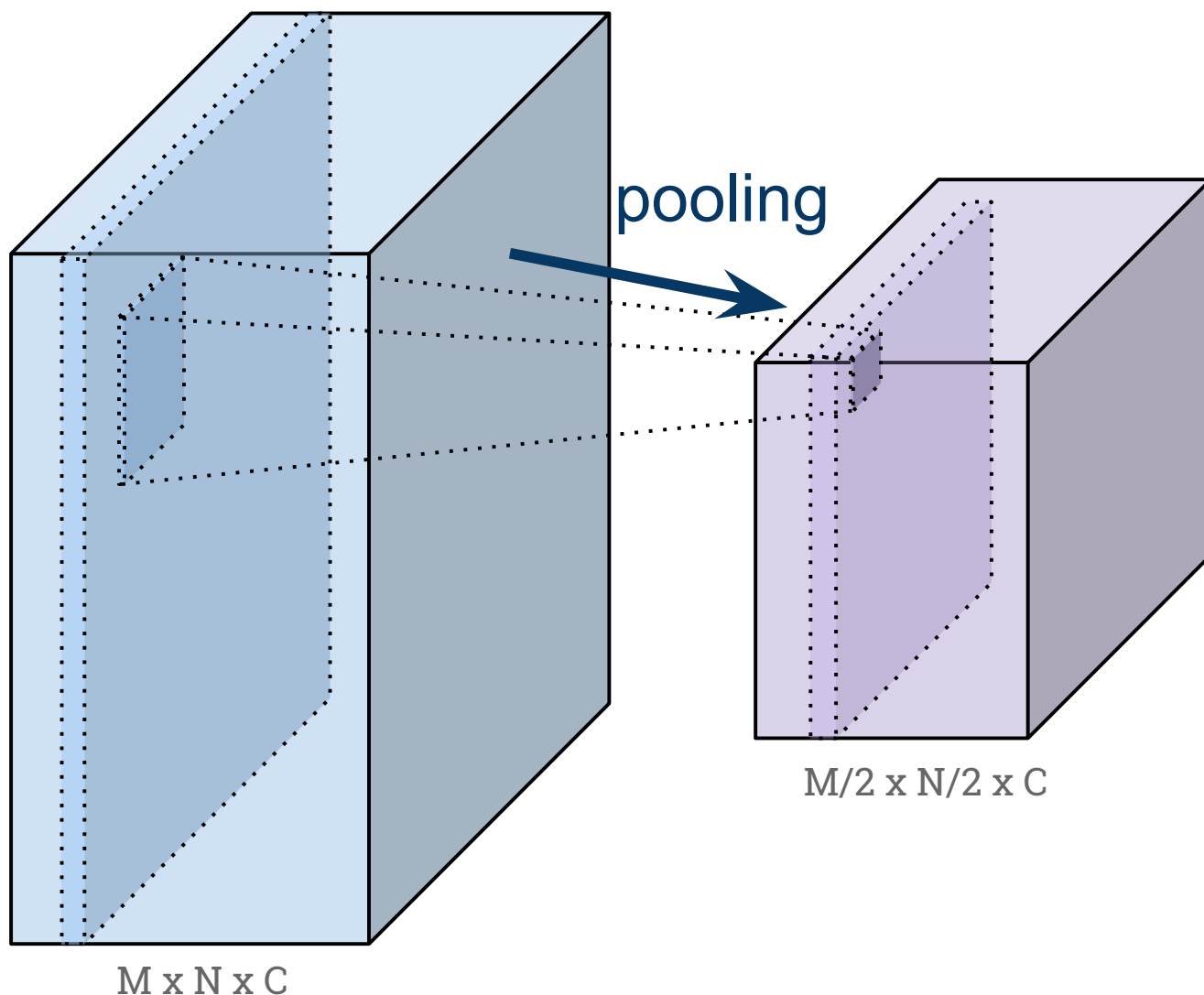
$$\Rightarrow 76^*10 = 760$$

# Quelques remarques

- **Poids partagés** : à la différence des réseaux complètement connectés, les poids de chaque couche de convolution sont réutilisés en tous les positions de l'entrée
- **Invariance** : si on translate l'image d'entrée, la sortie du réseau est transitive
- Les couches de convolution permettent de traiter des données de différentes tailles (par exemple, des images), sans avoir besoin de changer l'architecture.

# Couche de Pooling (MaxPool)

- **But** : compresser (sous-échantillonner) la représentation, permet de réduire la taille des données tout en gardant une partie significative
- Appliquée sur chaque couche d'activation séparément



# Couche de Pooling

- **But :** compresser (sous-échantillonner) la représentation, permet de réduire la taille des données tout en gardant une partie significative
- Appliquée sur chaque couche d'activation séparément



# Couche de Pooling

- **But :** compresser (sous-échantillonner) la représentation, permet de réduire la taille des données tout en gardant une partie significative
- Appliquée sur chaque couche d'activation séparément

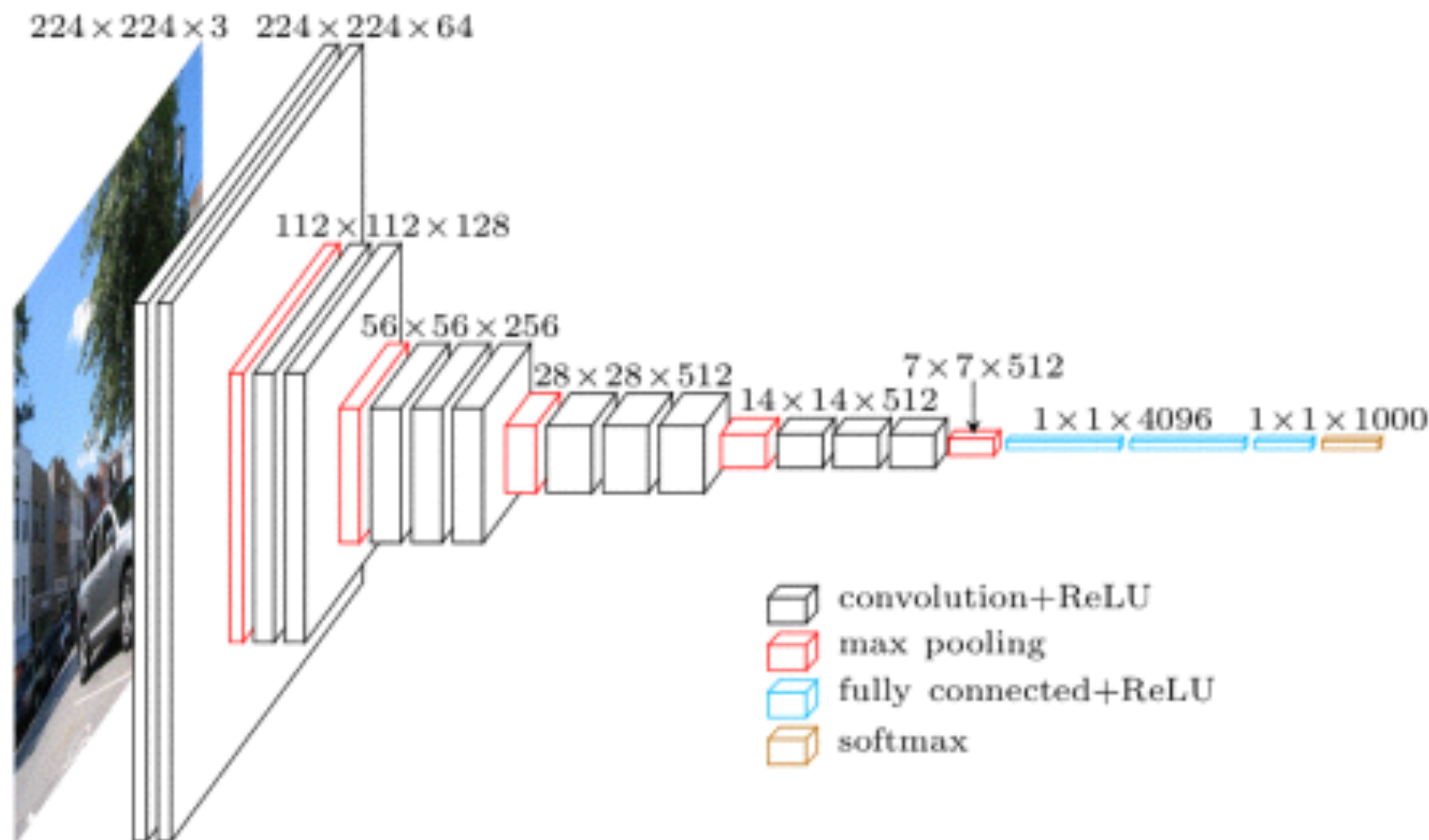


# CNN et Pooling

- Un réseau convolutionnel peut être vu comme un cas particulier de réseau de neurones complètement connecté : certains poids sont partagés (identiques) et d'autres mis à zéro
- Cela peut être vu comme un prior sur la distribution des poids d'un réseau complètement connecté, afin que la sortie soit invariante aux translations
- Attention, le fait que le réseau soit convolutionnel, avec des étapes de Pooling, peut provoquer des problèmes de sous-ajustement

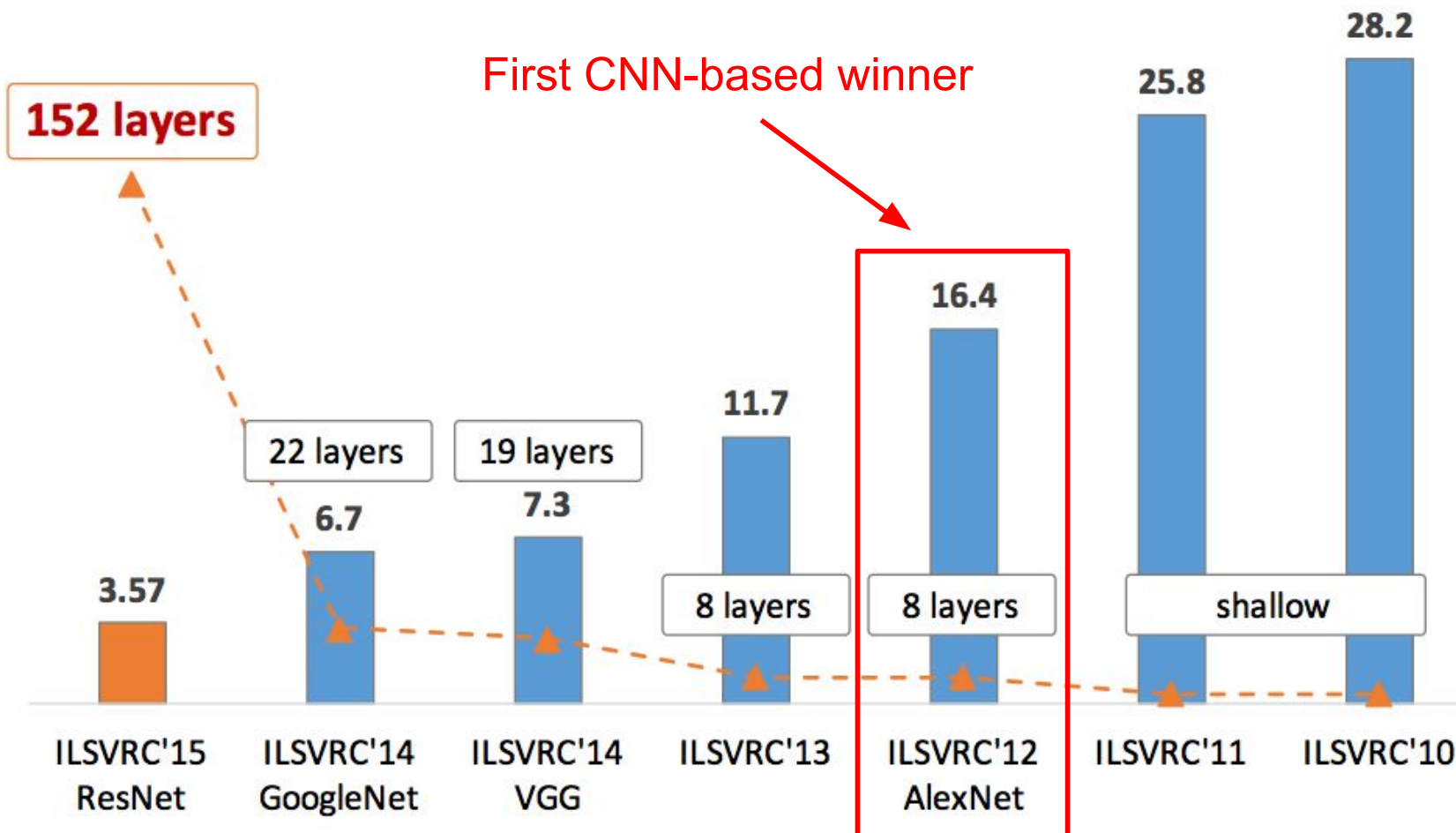
# Exemple de CNN : VGG-16

- CNN proposé par K. Simonyan et A. Zisserman (Oxford) en 2014 dans l'article “Very Deep Convolutional Networks for Large-Scale Image Recognition”. Le réseau atteint 92.7% de précision dans le challenge ImageNet (base de 14 million images avec 1000 classes). 500Mo sur le disque



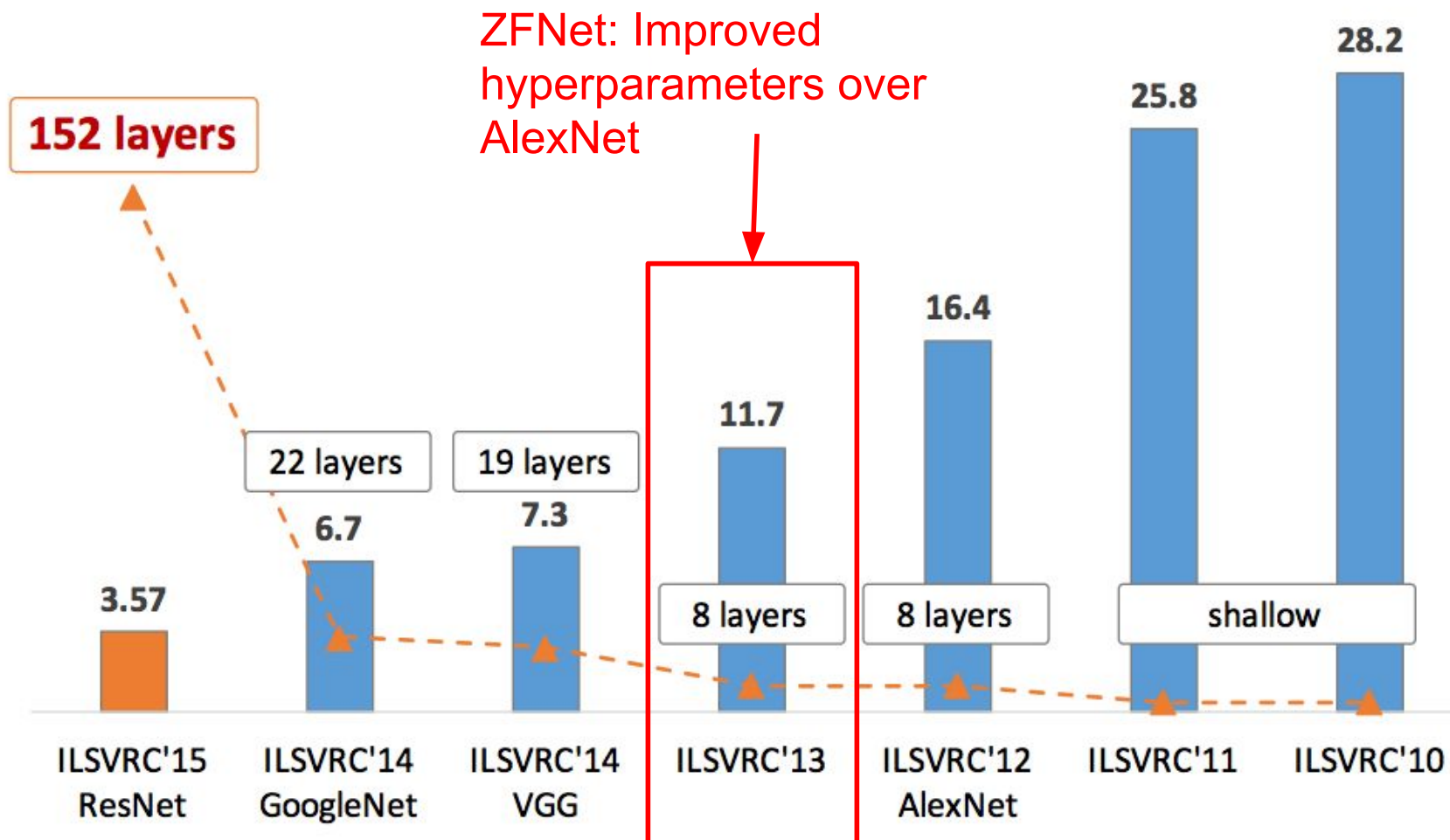
# ImageNet Large Scale Visual Recognition Challenge (ILSVRC)

ImageNet Large Scale Visual Recognition Challenge (ILSVRC) winners



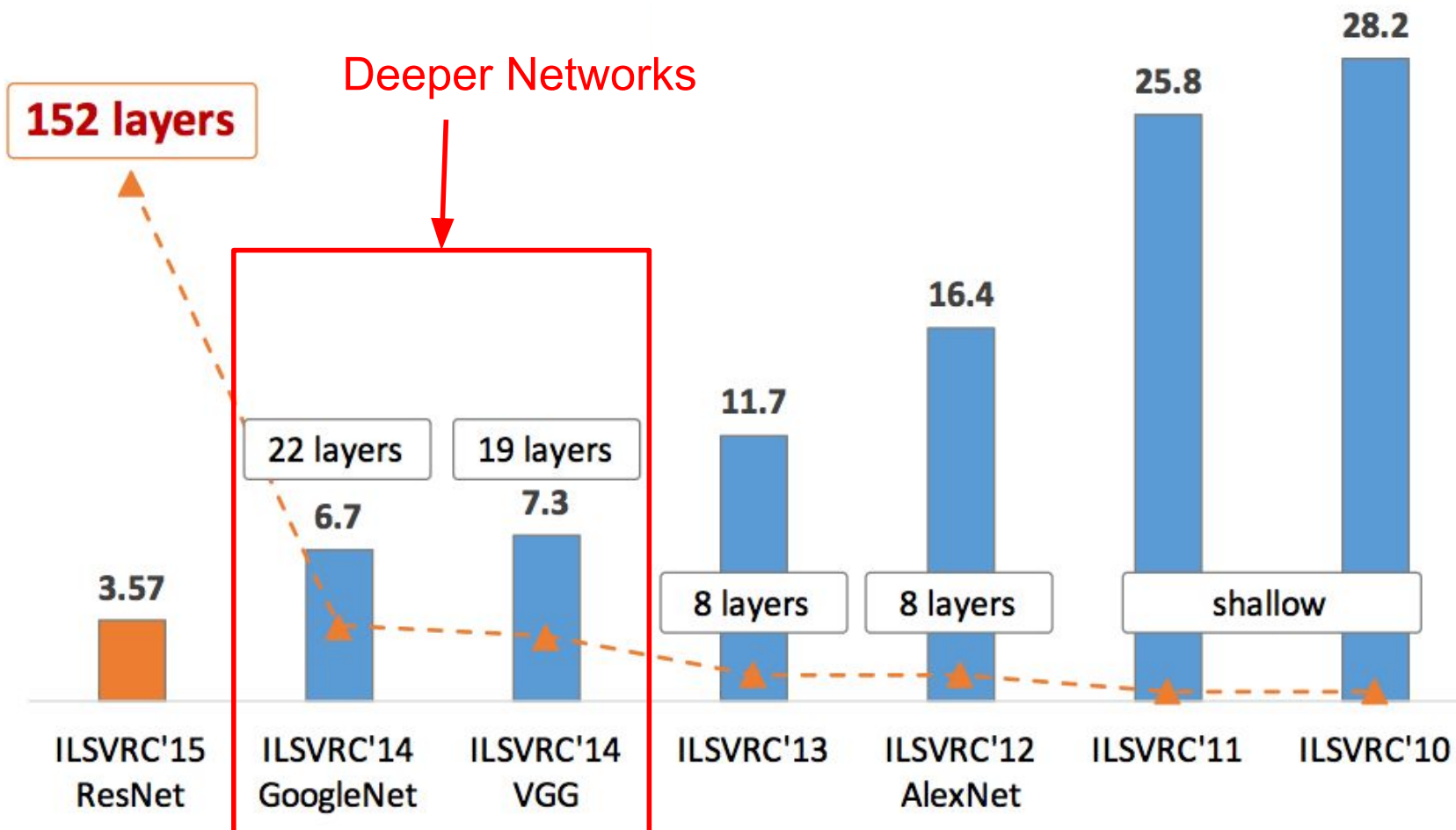
# ImageNet Large Scale Visual Recognition Challenge (ILSVRC)

ImageNet Large Scale Visual Recognition Challenge (ILSVRC) winners

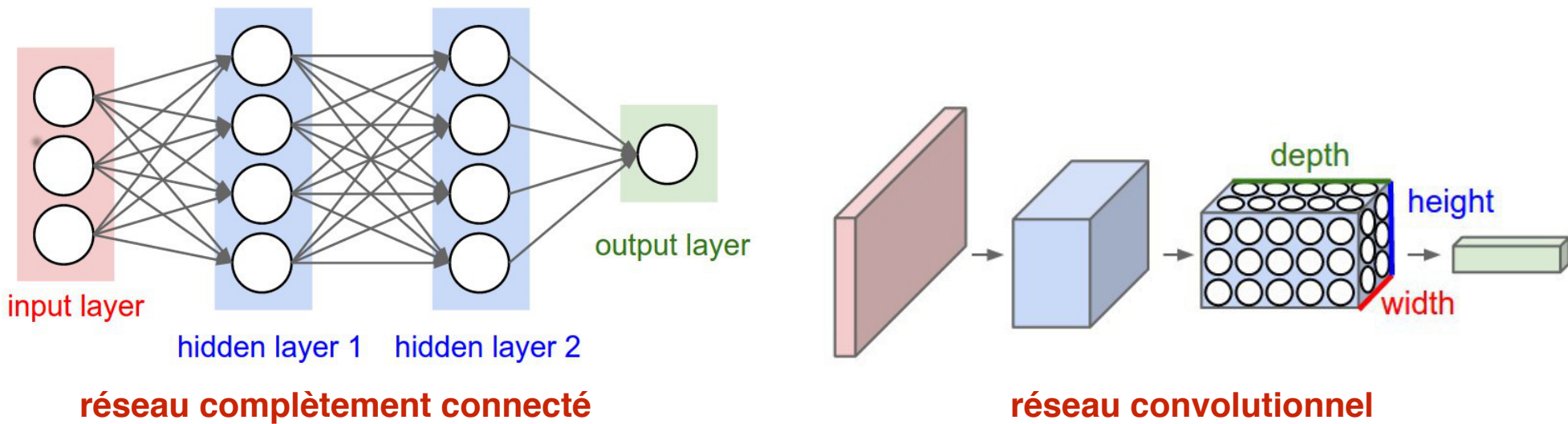


# ImageNet Large Scale Visual Recognition Challenge (ILSVRC)

ImageNet Large Scale Visual Recognition Challenge (ILSVRC) winners



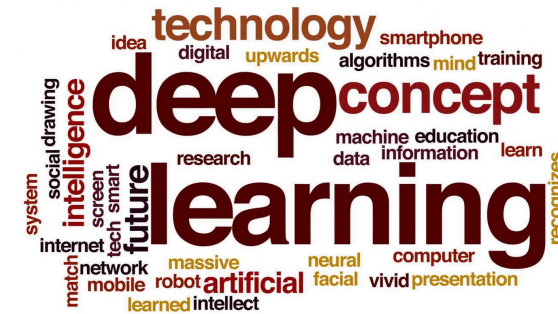
# Résumé



- **Réseau convolutionnel** : Trois hyperparamètres contrôlent la taille du volume généré dans une couche de convolution:
  - Profondeur: nombre de filtres (hyperparamètre)
  - *Stride* : pas de convolution S (généralement 1 ou 2, rarement plus grand)
  - *Zero-padding* : le volume est agrandi pour contrôler le volume de sortie. La largeur de l'image de sortie est  $W_o = (W - F + 2P) / S + 1$  (similaire pour la hauteur)
- Il faut aussi préciser la taille du filtre de convolution  $F \times F$ .

# Environnements pour le Deep Learning

theano



++  
Caffe2 PYTORCH

TensorFlow

GitHub

torch  
Caffe

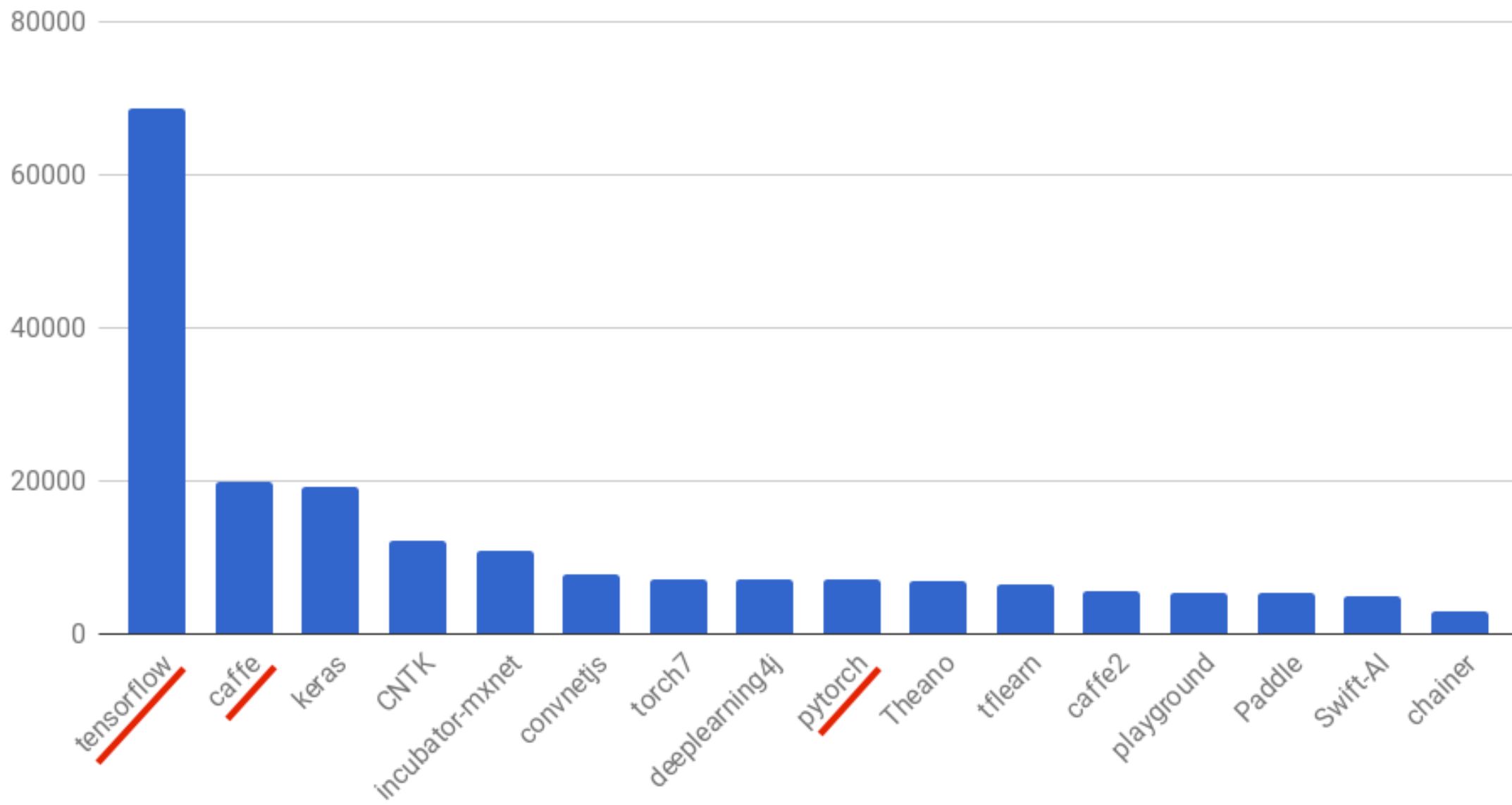
# Environnements pour le Deep Learning

- Caffe → Caffe2 (UC Berkeley, Facebook)
- Theano → **TensorFlow** (U. Montreal → Google)
- Torch → **PyTorch** (NYU → Facebook)
- Autres : MatConvNet (Oxford U.), MXNet (Amazon), CNTK (Microsoft), Paddle (Baidu), etc...

# Environnements pour le Deep Learning

Github Stars - Setiembre 2017

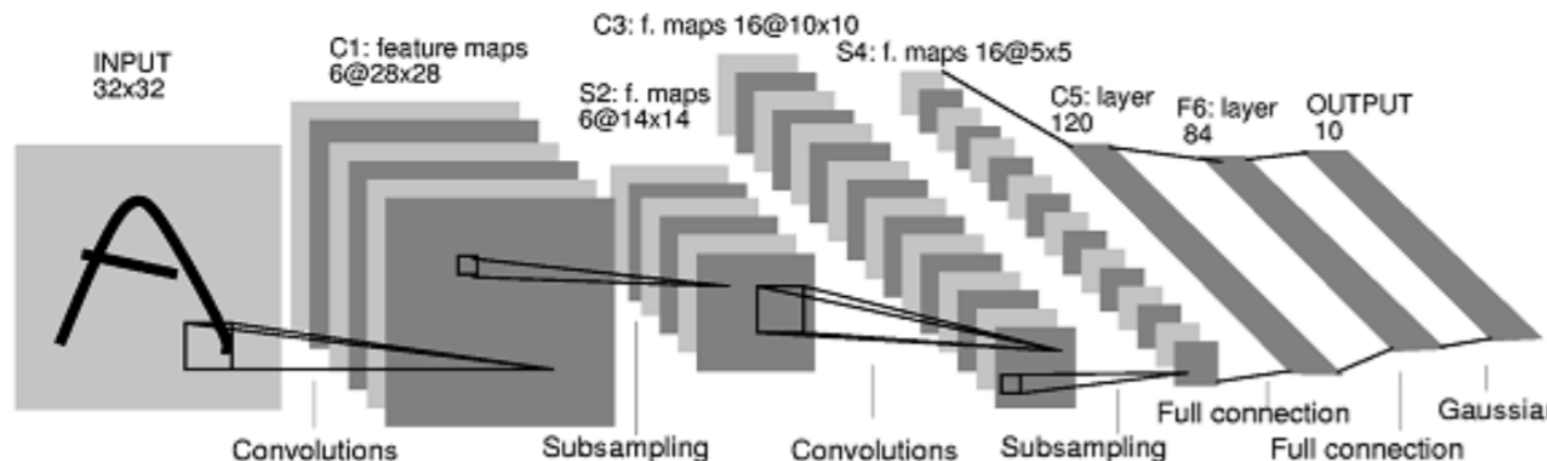
con información de <https://github.com/hunkim/DeepLearningStars>



# Evolution des architectures

1998

LeCun et al.



# of transistors



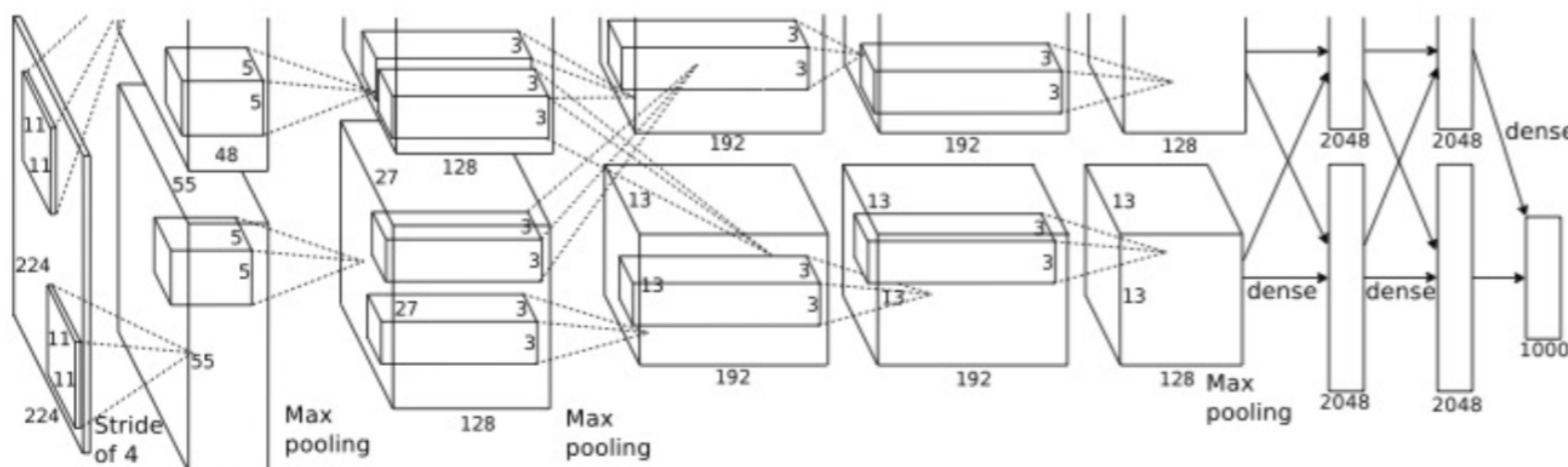
$10^6$

# of pixels used in training

$10^7$  NIST

2012

Krizhevsky  
et al.



# of transistors



$10^9$

GPUs

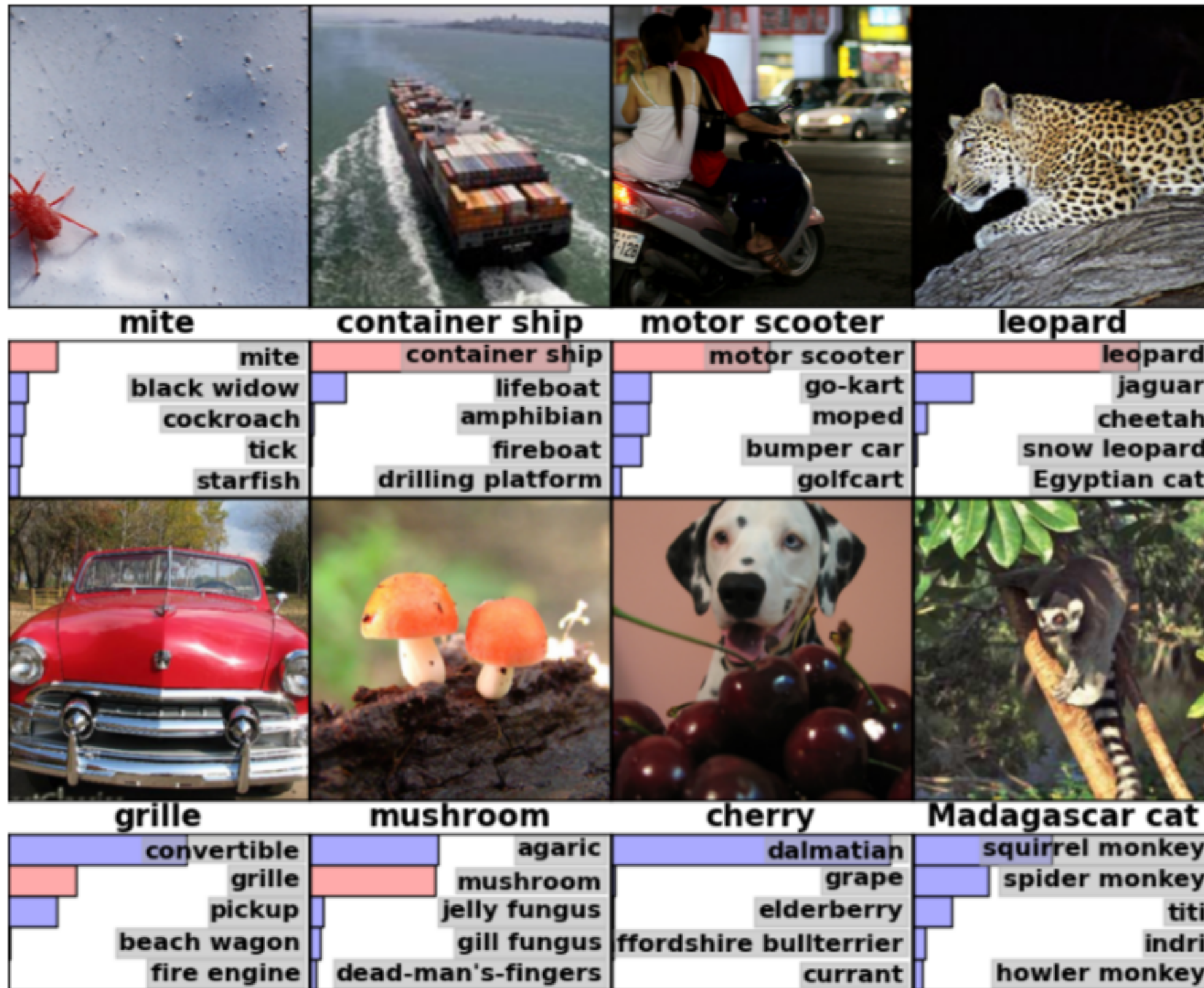


# of pixels used in training

$10^{14}$  IMAGENET

# Quelques applications

# Classification d'images



Krizhevsky, Alex, Ilya Sutskever, Geoffrey E. Hinton.

"Imagenet classification with deep convolutional neural networks.", NIPS 2012. (13k citas)

# Vision par ordinateur

**Classification**



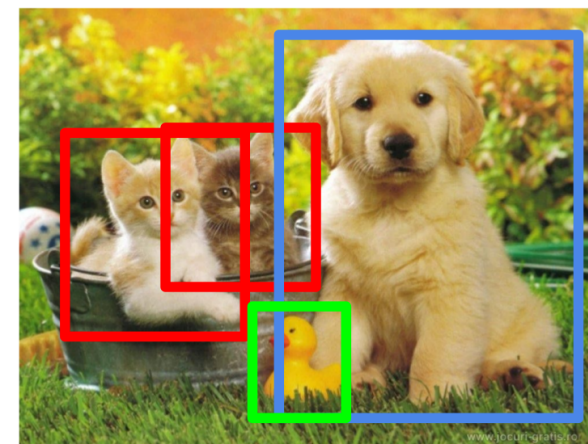
CAT

**Classification + Localization**



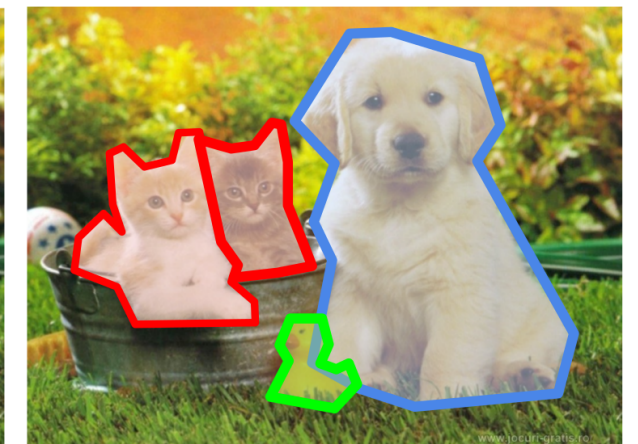
CAT

**Object Detection**



CAT, DOG, DUCK

**Instance Segmentation**

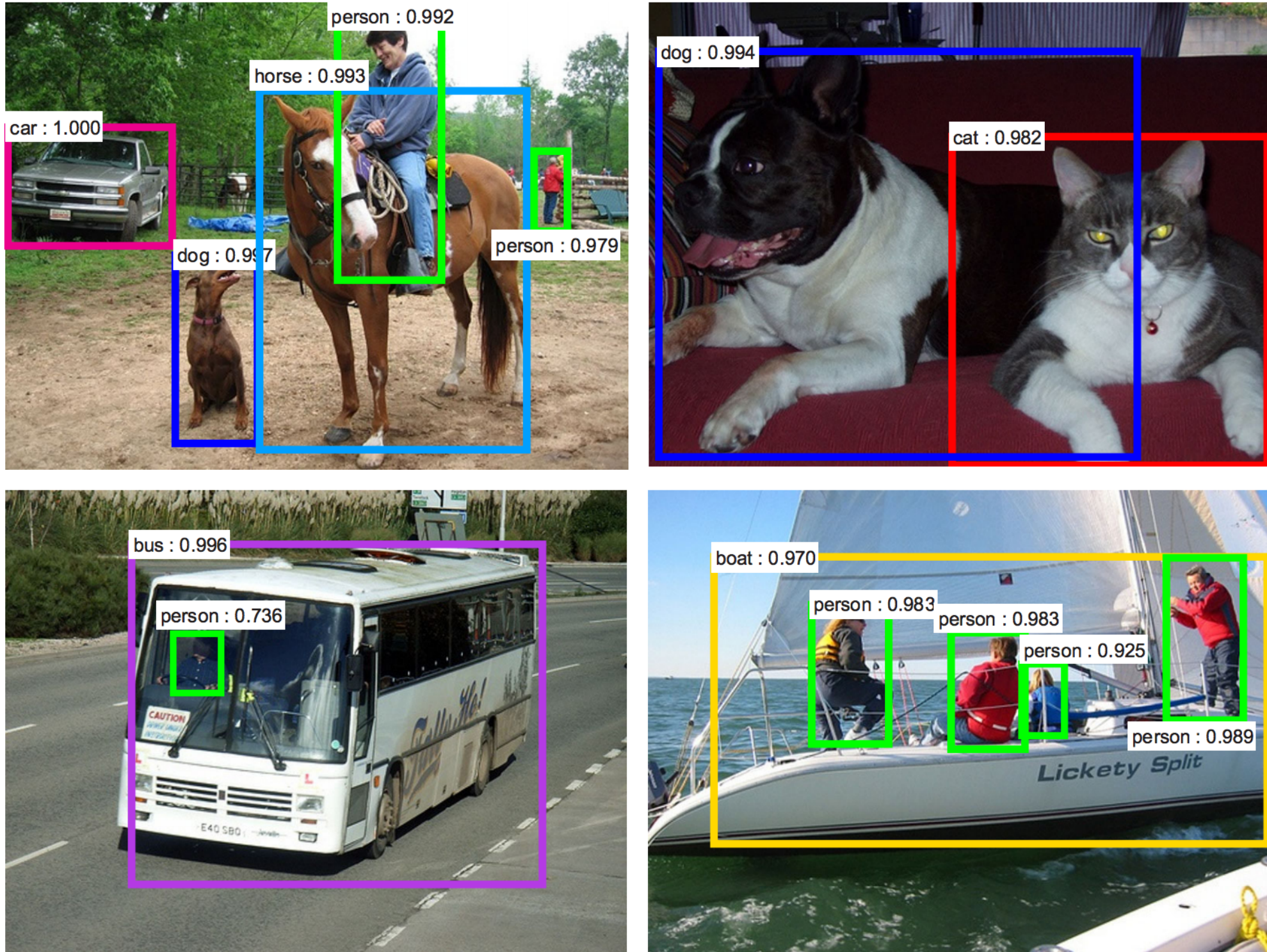


CAT, DOG, DUCK

Single object

Multiple objects

# Détection d'objets



Ren, Shaoqing, Kaiming He, Ross Girshick, and Jian Sun.

"Faster R-CNN: Towards real-time object detection with region proposal networks." NIPS 2015 (1.3k cit)

# Segmentation



Figure 4. More results of **Mask R-CNN** on COCO test images, using ResNet-101-FPN and running at 5 fps, with 35.7 mask AP (Table 1).

# Détection de pose

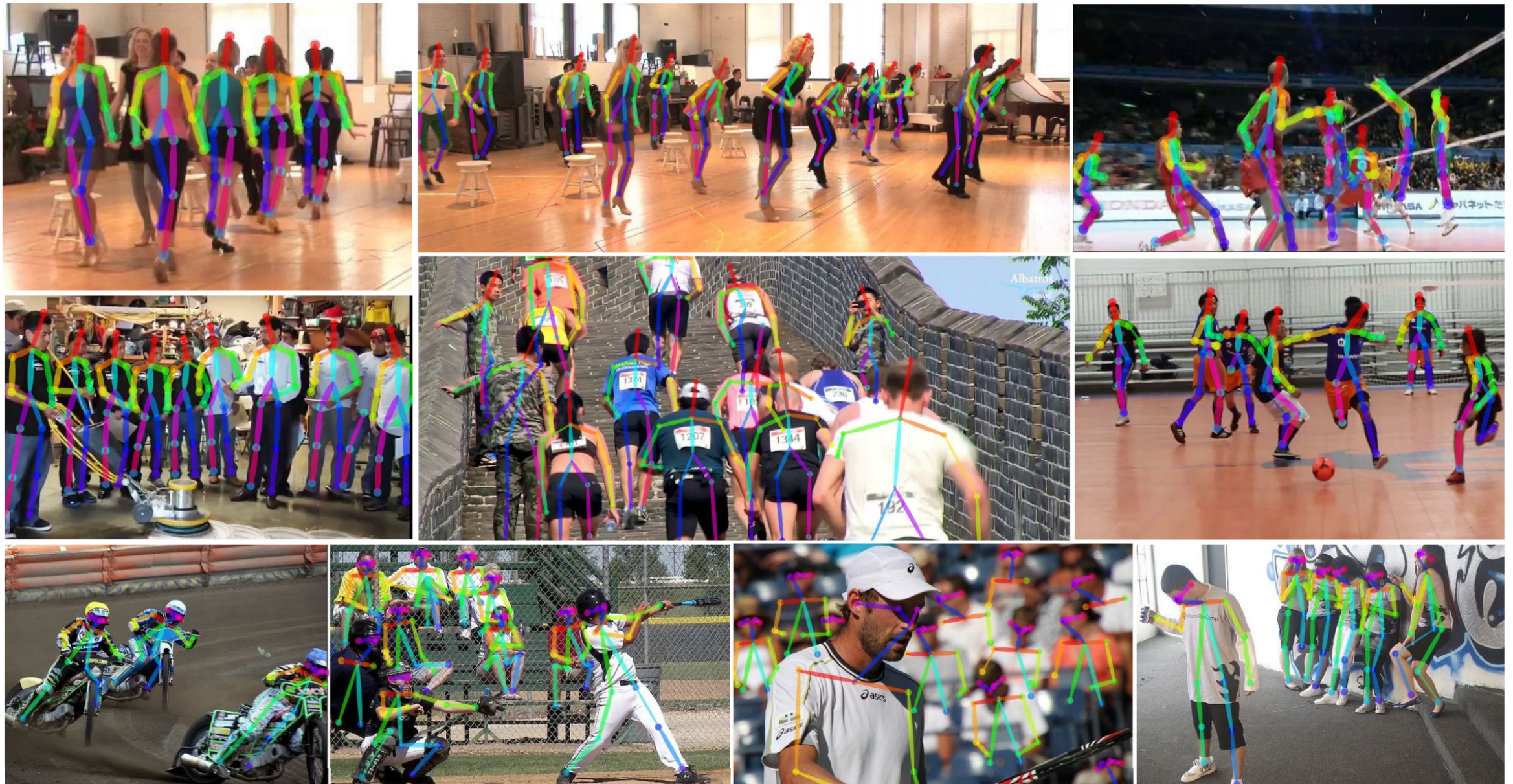


Figure 10. Results containing viewpoint and appearance variation, occlusion, crowding, contact, and other common imaging artifacts.

▶ OpenPose

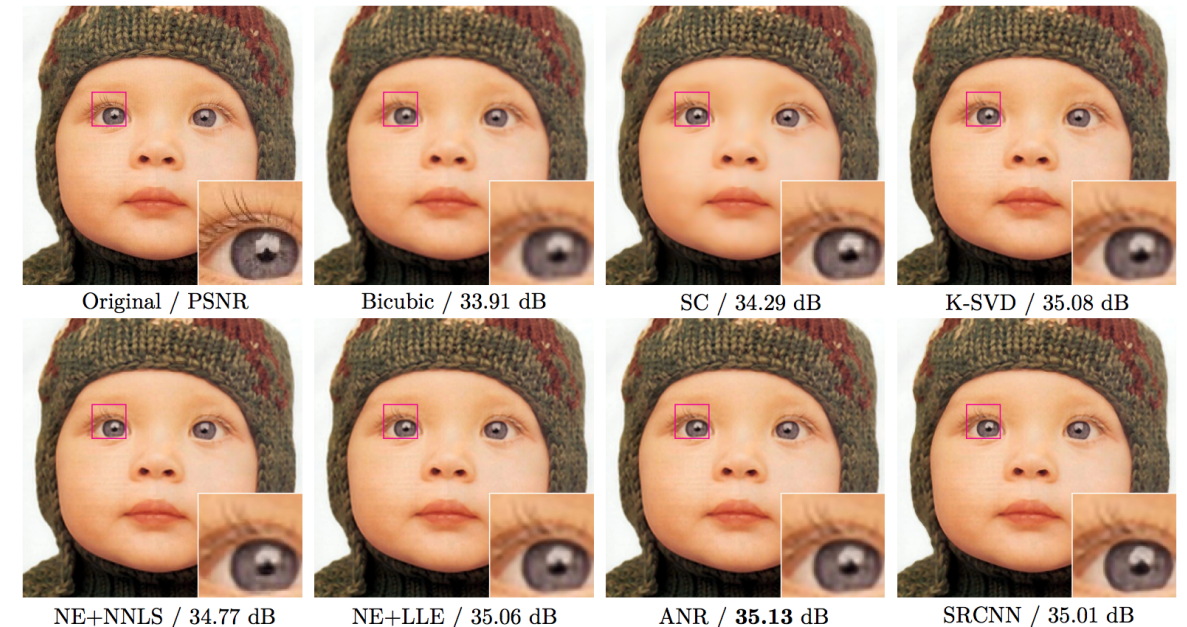
Zhe Cao and Tomas Simon and Shih-En Wei and Yaser Sheikh  
“Realtime Multi-Person 2D Pose Estimation using Part Affinity Fields.”, CVPR 2017

<https://www.youtube.com/watch?v=pW6nZXeWlGM>

# Restauration d'image : défloutage, superrésolution



Su, Shuochen, Mauricio Delbracio, Jue Wang,  
Guillermo Sapiro, Wolfgang Heidrich, and Oliver Wang  
"Deep video deblurring.", CVPR 2017



Dong, Chao, Chen Change Loy, Kaiming He, Xiaoou Tang.

"Learning a deep convolutional network for image  
super-resolution.", ECCV 2014

# Sous-titrage automatique

No errors



*A white teddy bear sitting in the grass*



*A man riding a wave on top of a surfboard*

Minor errors



*A man in a baseball uniform throwing a ball*



*A cat sitting on a suitcase on the floor*

Somewhat related



*A woman is holding a cat in her hand*



*A woman standing on a beach holding a surfboard*

## Image Captioning

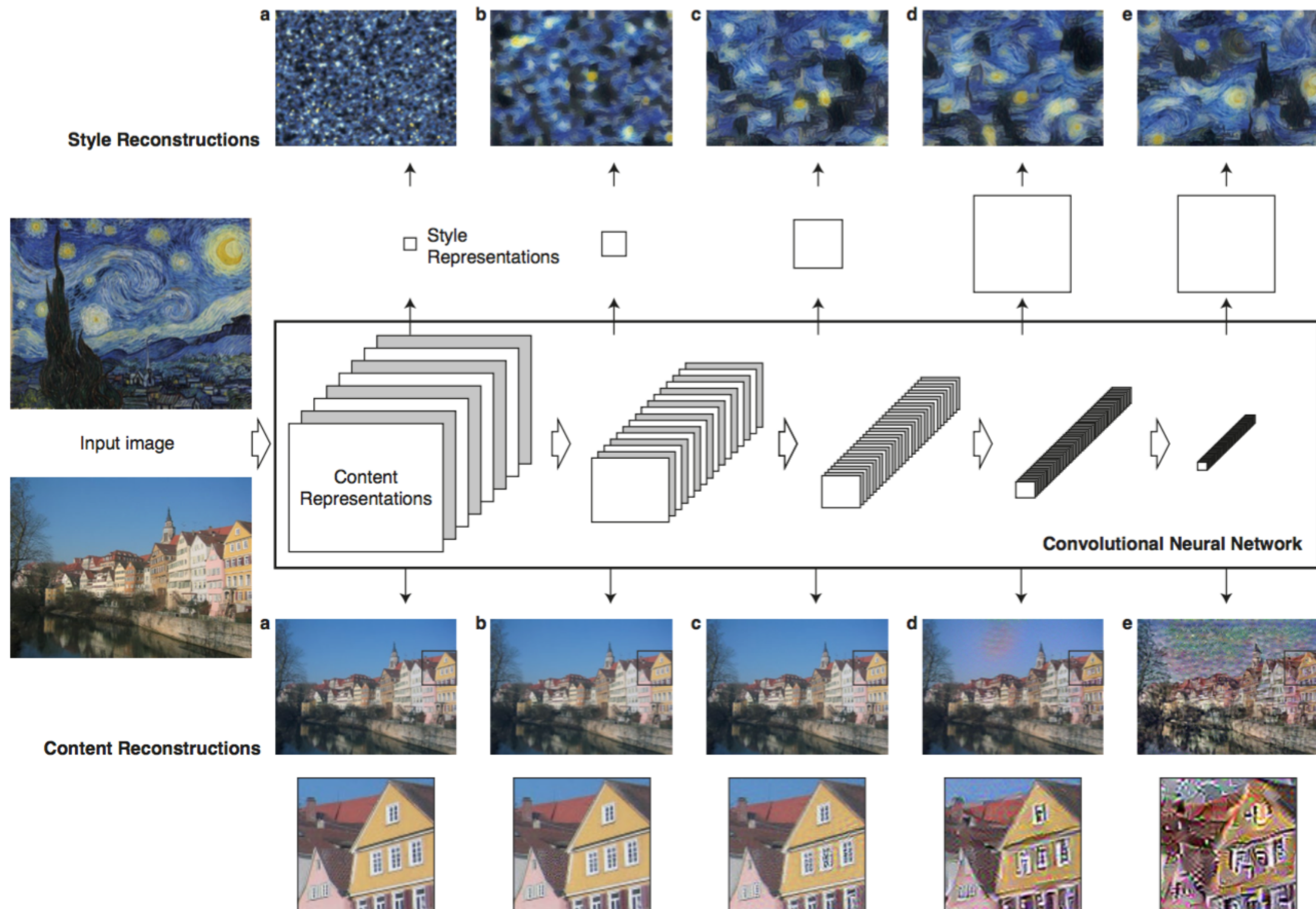
[Vinyals et al., 2015]  
[Karpathy and Fei-Fei, 2015]

All images are CC0 Public domain:  
<https://pixabay.com/en/luggage-antique-cat-1643010/>  
<https://pixabay.com/en/teddy-plush-bears-cute-teddy-bear-1623436/>  
<https://pixabay.com/en/surf-wave-summer-sport-litoral-1668716/>  
<https://pixabay.com/en/woman-female-model-portrait-adult-983967/>  
<https://pixabay.com/en/handstand-lake-meditation-496008/>  
<https://pixabay.com/en/baseball-player-shortstop-infield-1045263/>

Captions generated by Justin Johnson using [Neuraltalk2](#)

# Transfert de style

*Transfer Learning* : réutilisation de réseaux déjà appris pour d'autres tâches (ici VGG-16)



# Transfert de style

